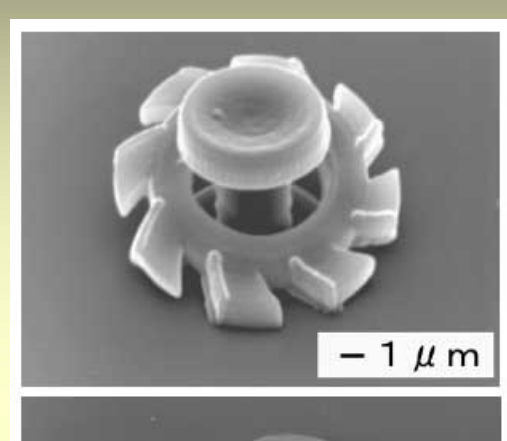
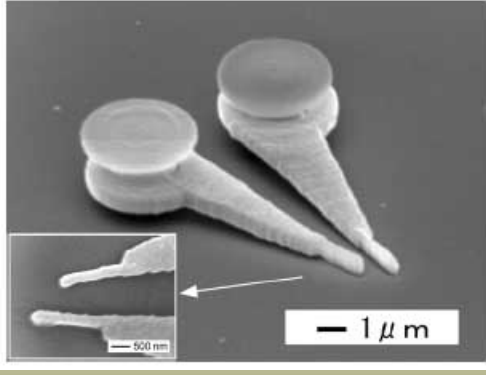
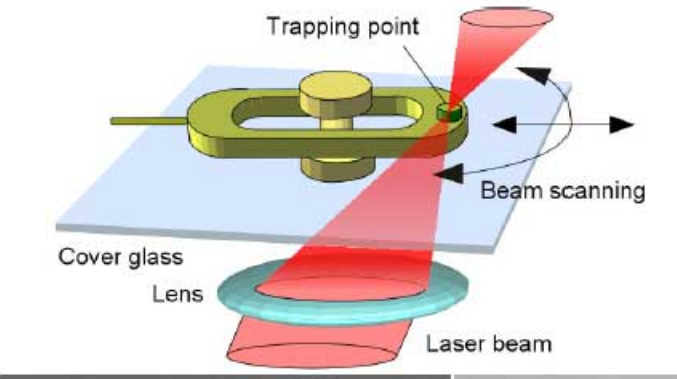
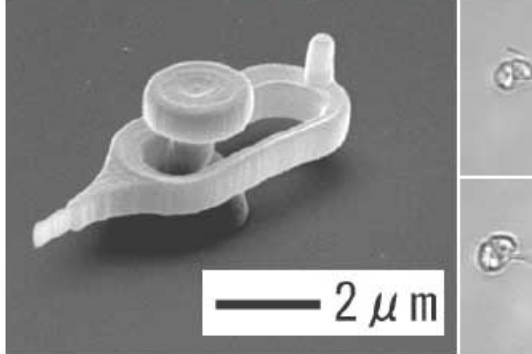
STEREOLITHOGRAPHIE pour les micro- et nano-technologies











Serge MONNERET

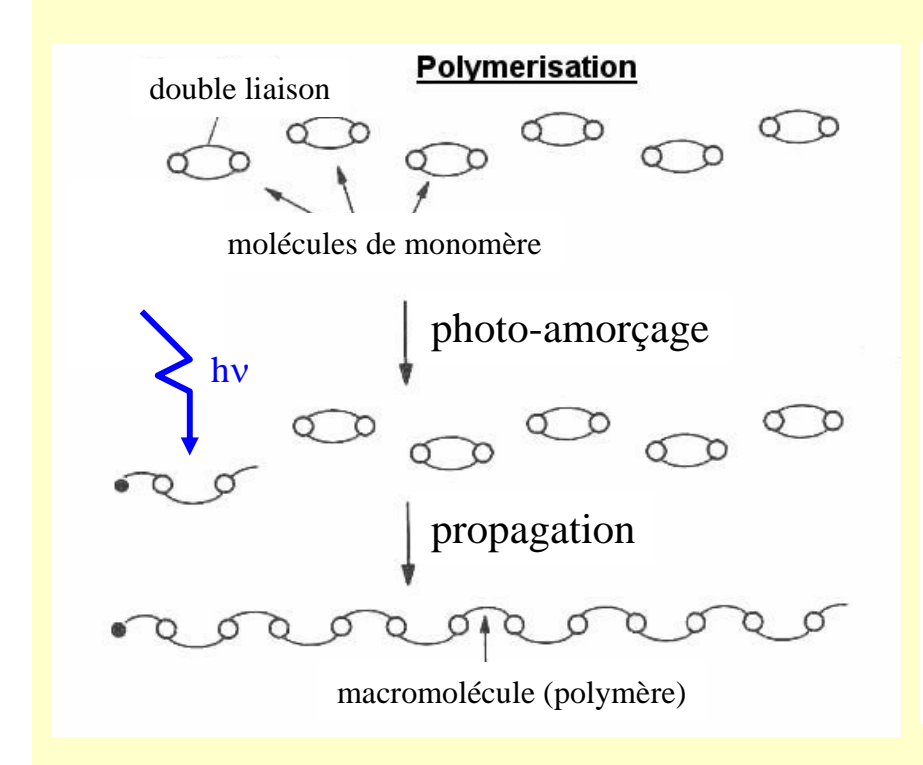
Institut Fresnel

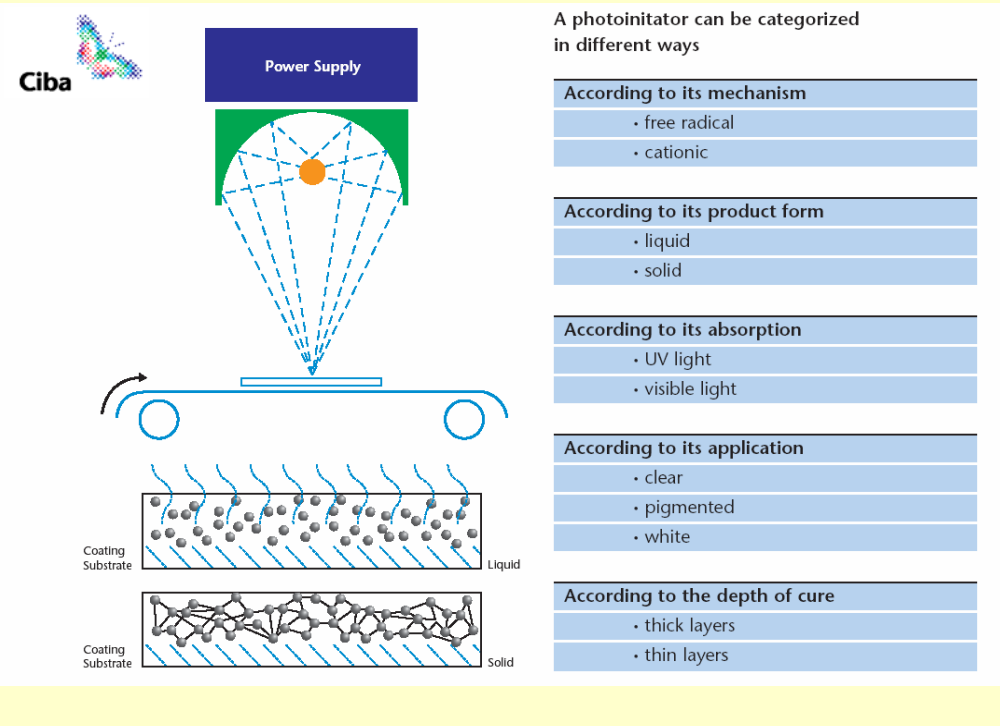
Domaine universitaire de Saint-Jérôme, 13397 Marseille Cedex 20



La réaction de photopolymérisation

liquide + lumière ----- solide

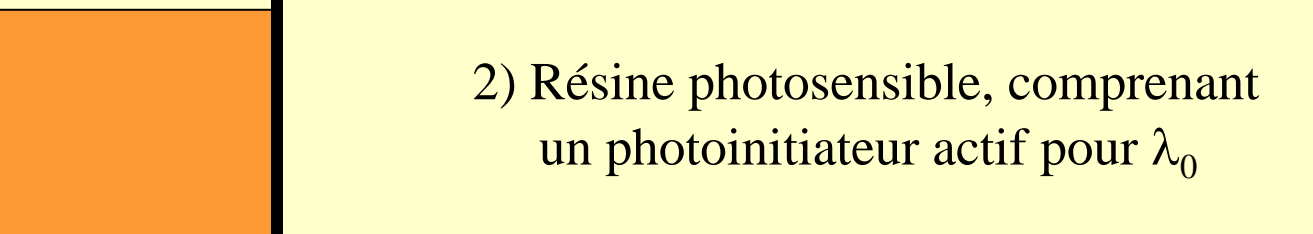




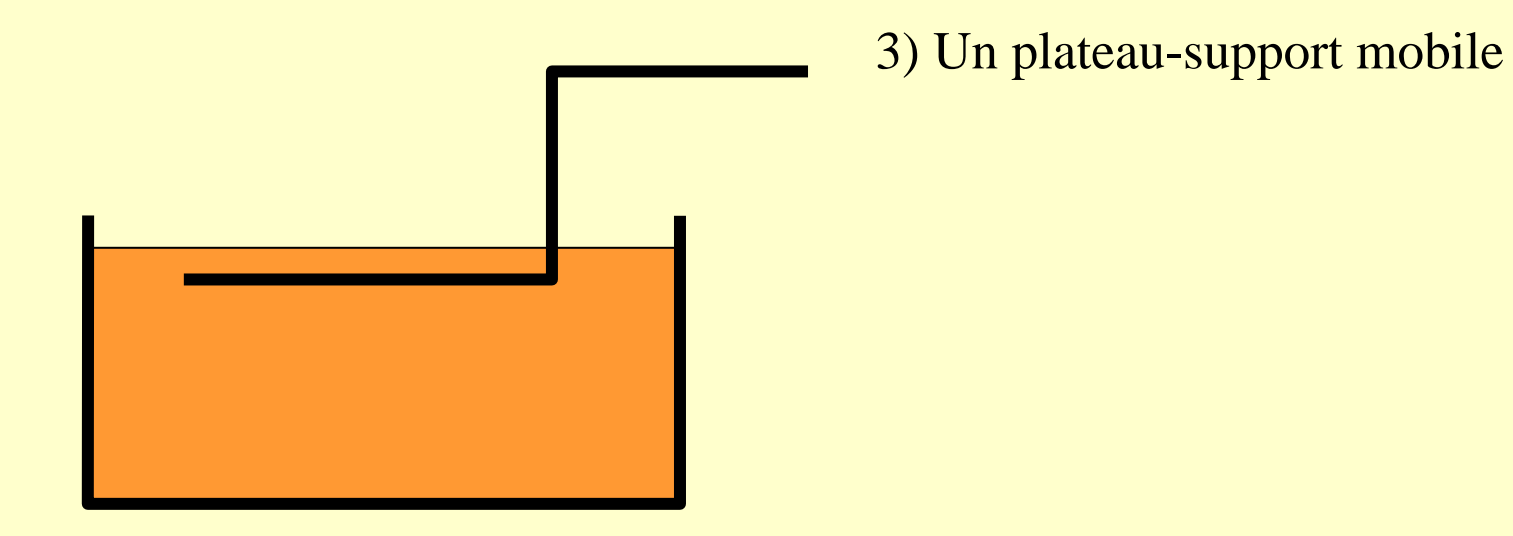


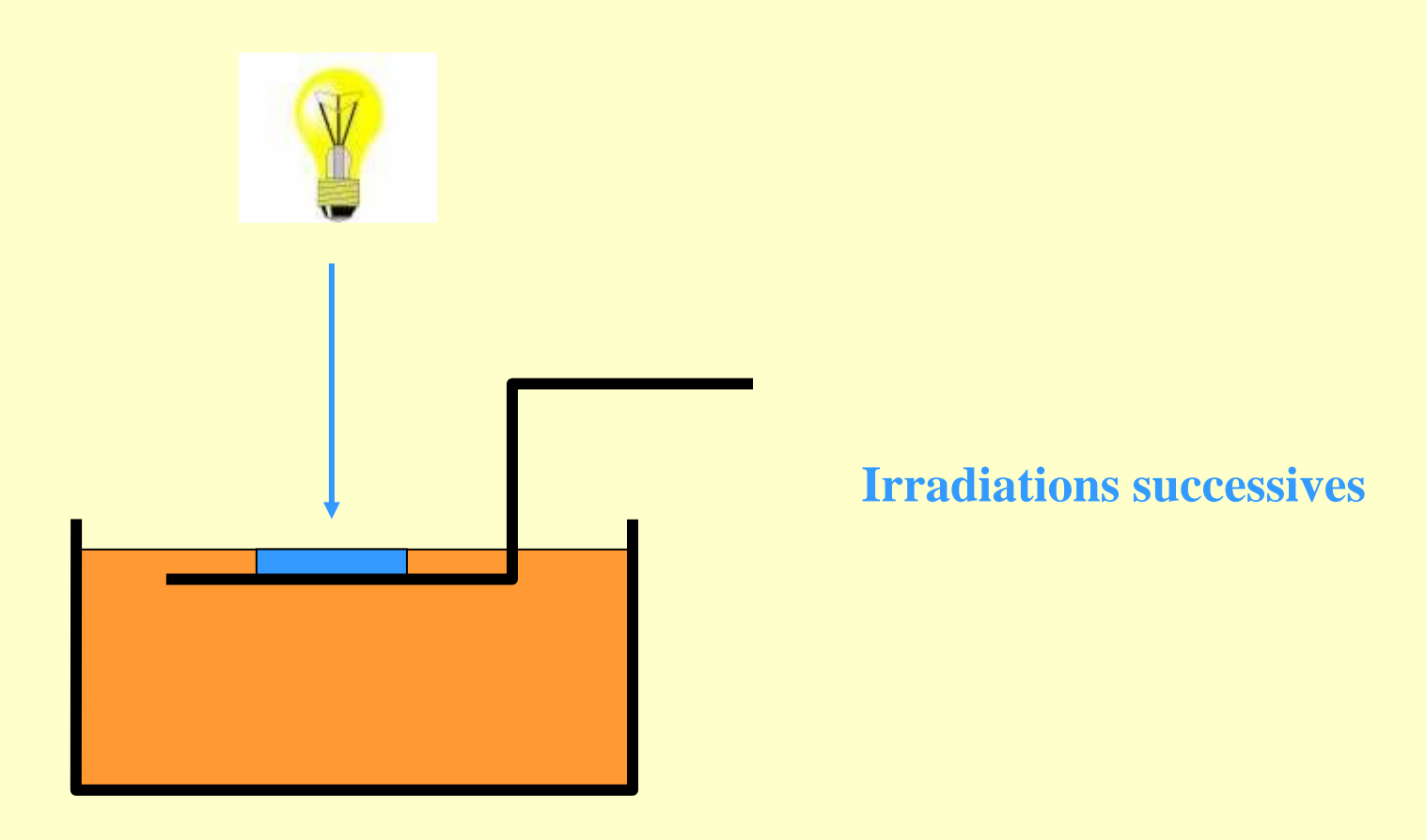
1) Source lumineuse, avec une raie spectrale autour de λ_0

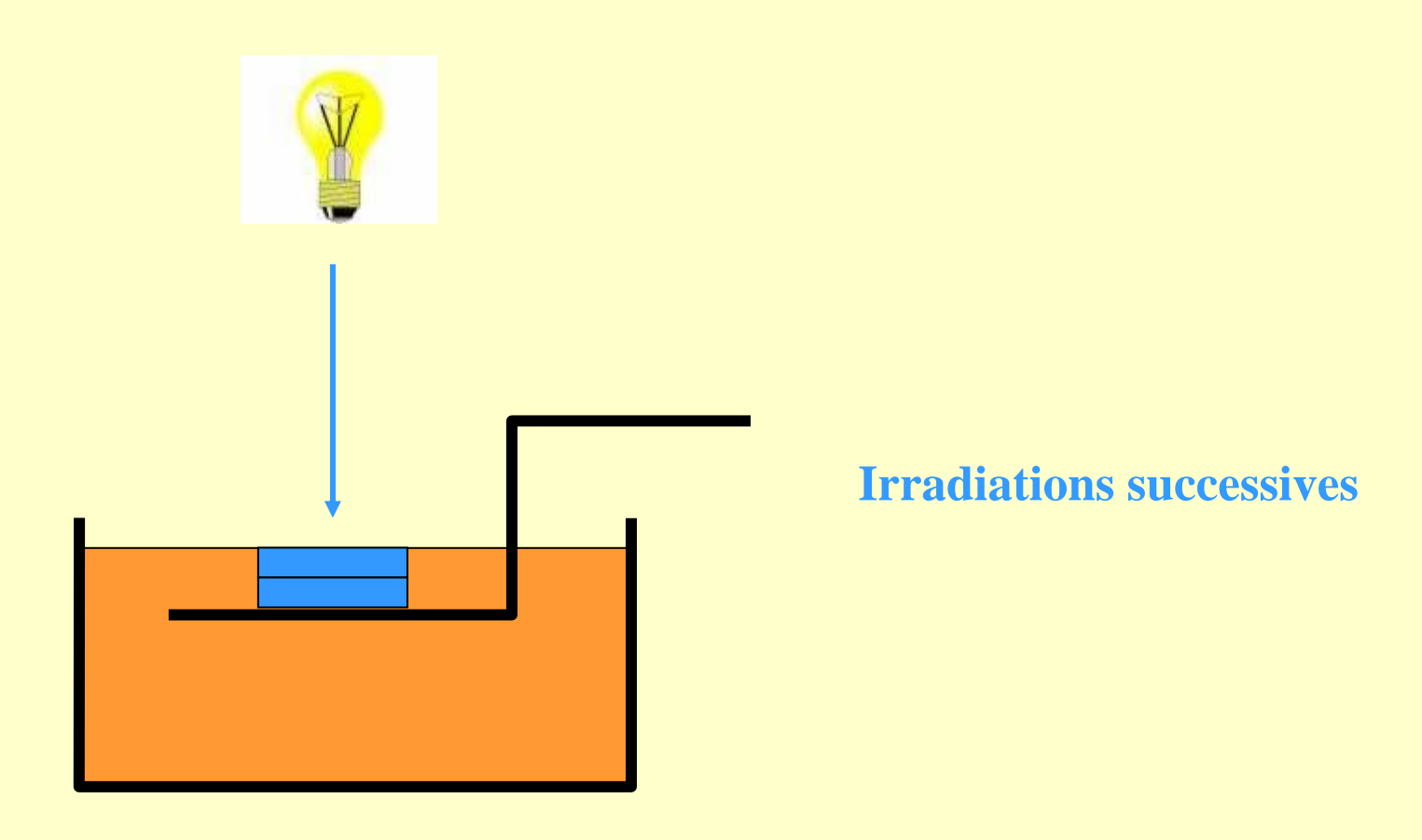


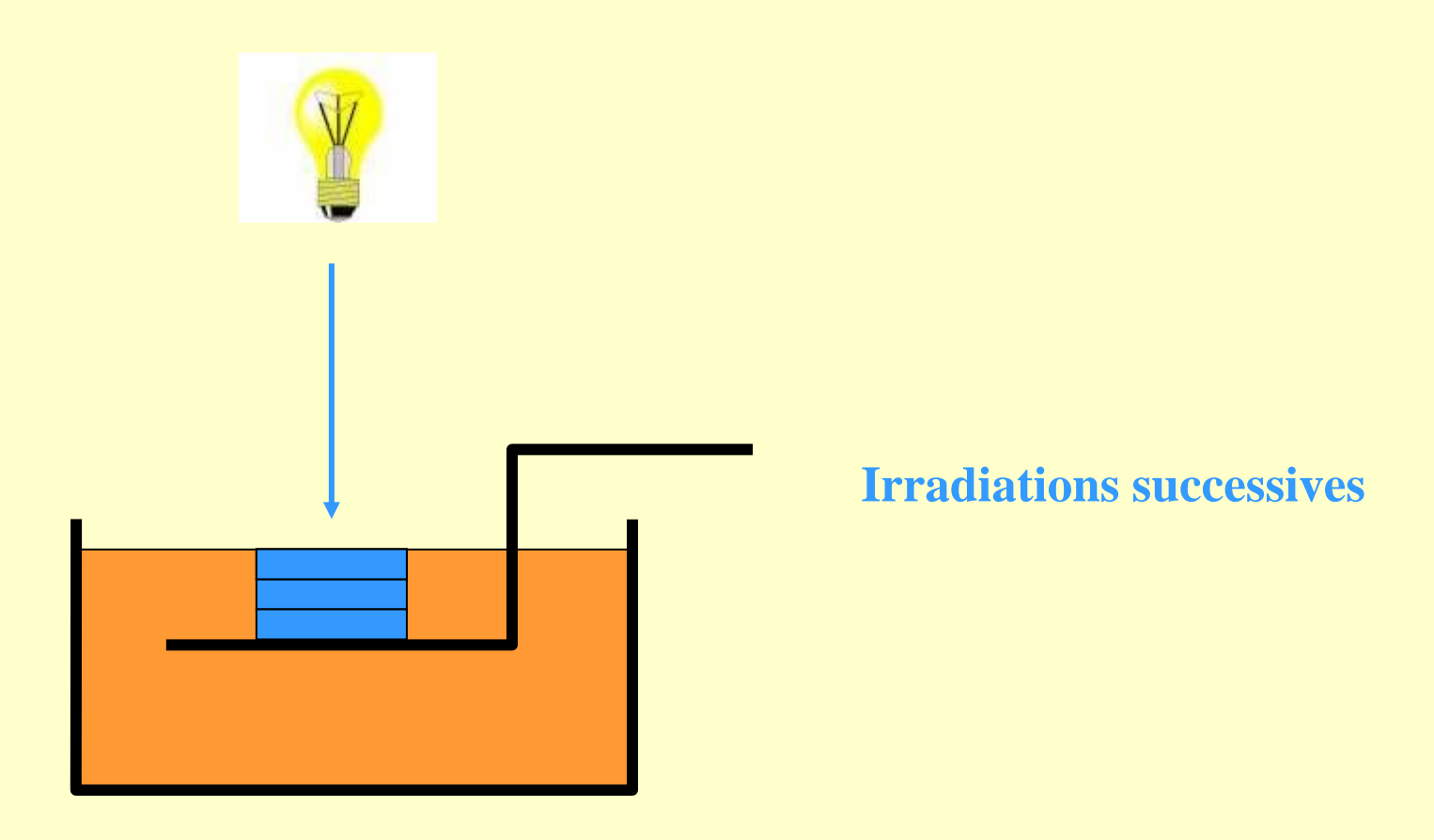




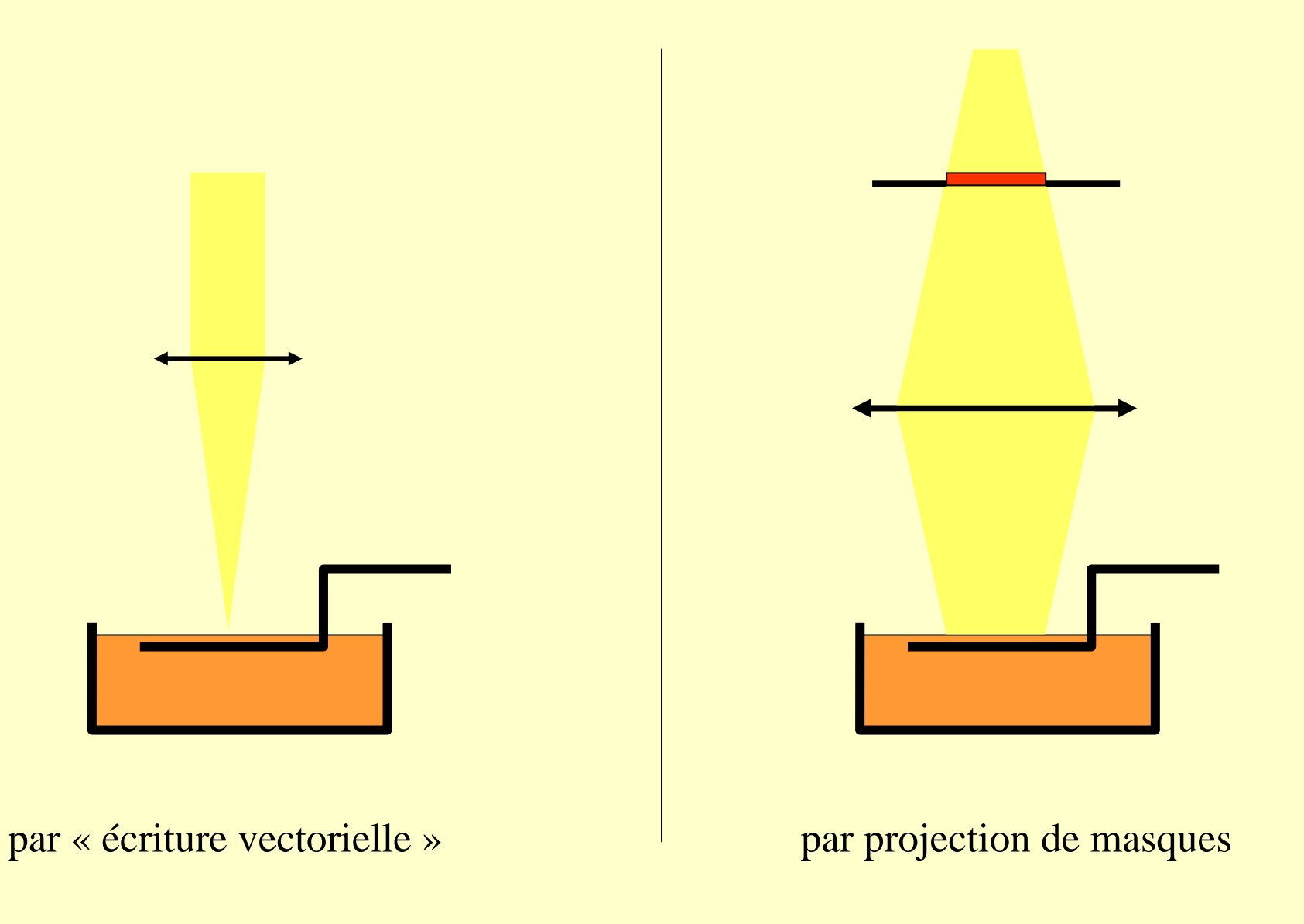




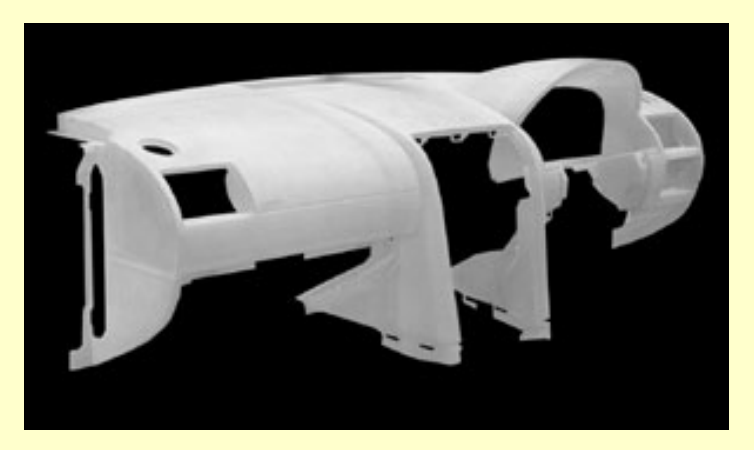




Comment résoudre la photopolymérisation dans l'espace ?



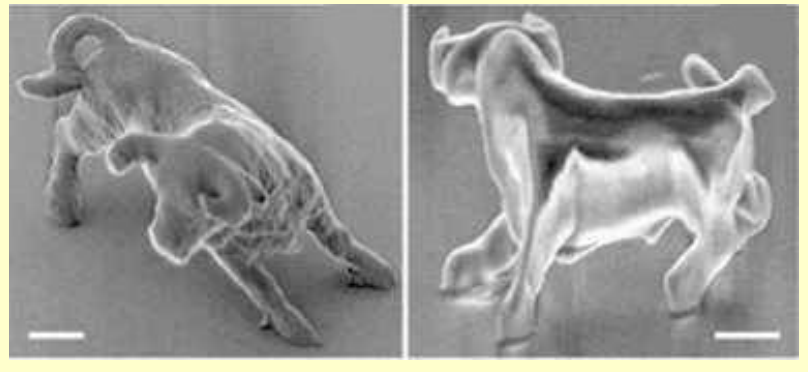
Les techniques de SL : des procédés de photopolymérisation ...



... rapides, par balayage laser, sur de grandes dimensions et avec une résolution typique de 0.1 mm



... rapides, par masquage dynamique, sur quelques mm² et avec une résolution typique de 10 µm



... lents, par balayage laser associé à une photopolymérisation à 2 photons avec une résolution typique de 0.1 µm

Plan de l'exposé

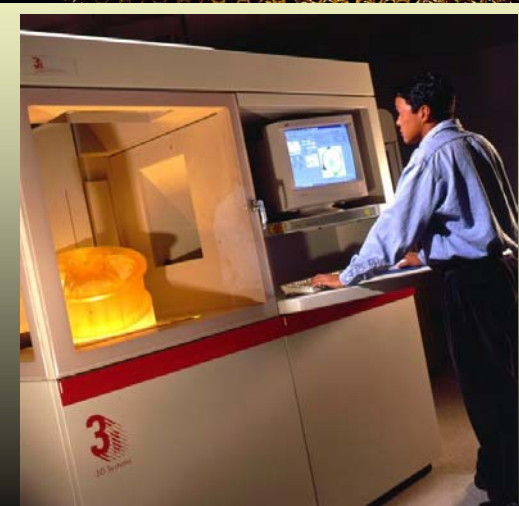
- Procédé conventionnel de stéréolithographie
- Microstéréolithographie par masques dynamiques
- Procédés de réplication
- Nanostéréolithographie par absorption multi-photons

une plate-forme du CNRS pour les laboratoires

Procédé conventionnel de SL



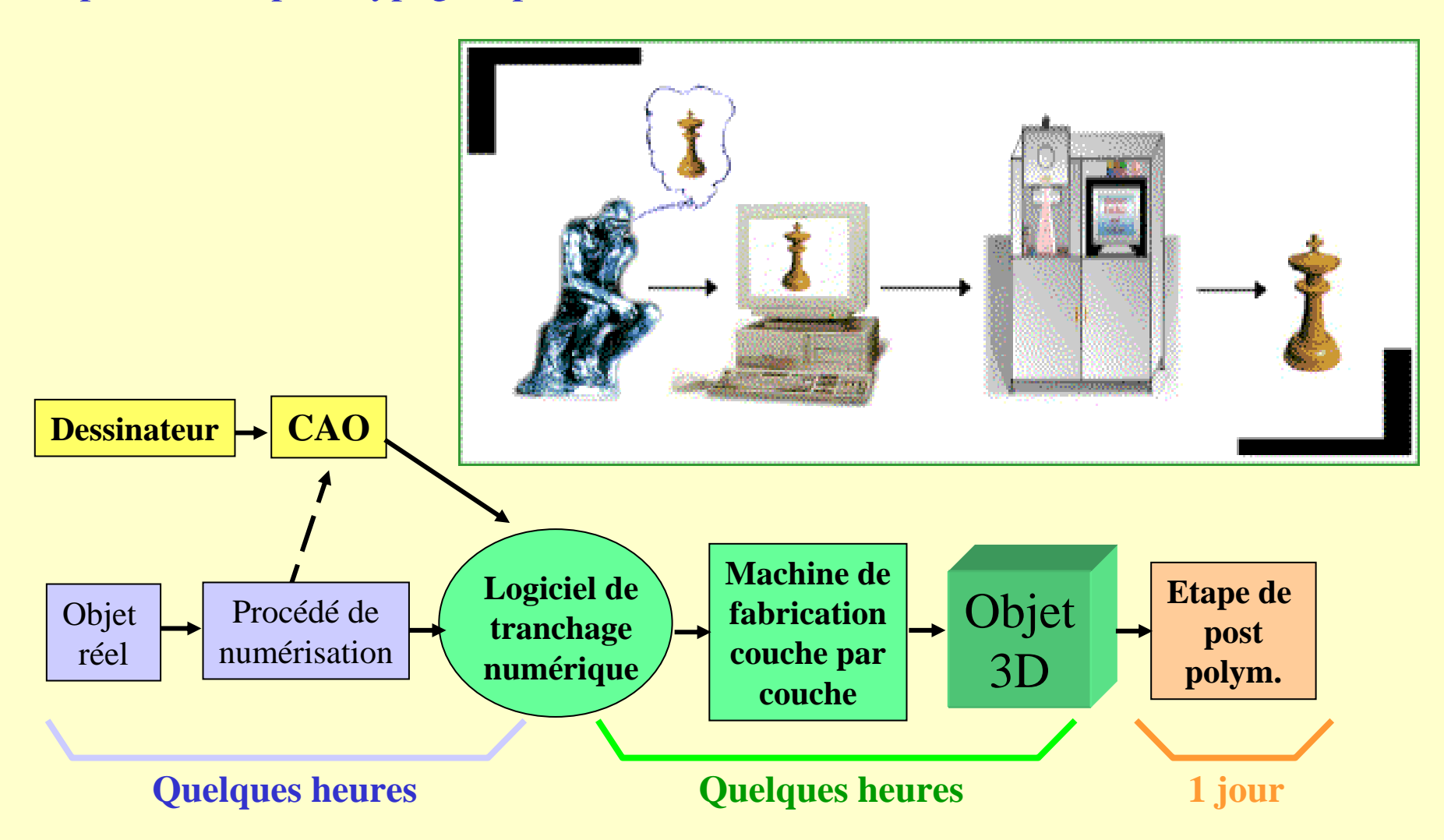




3D-Systems, SLA 7000

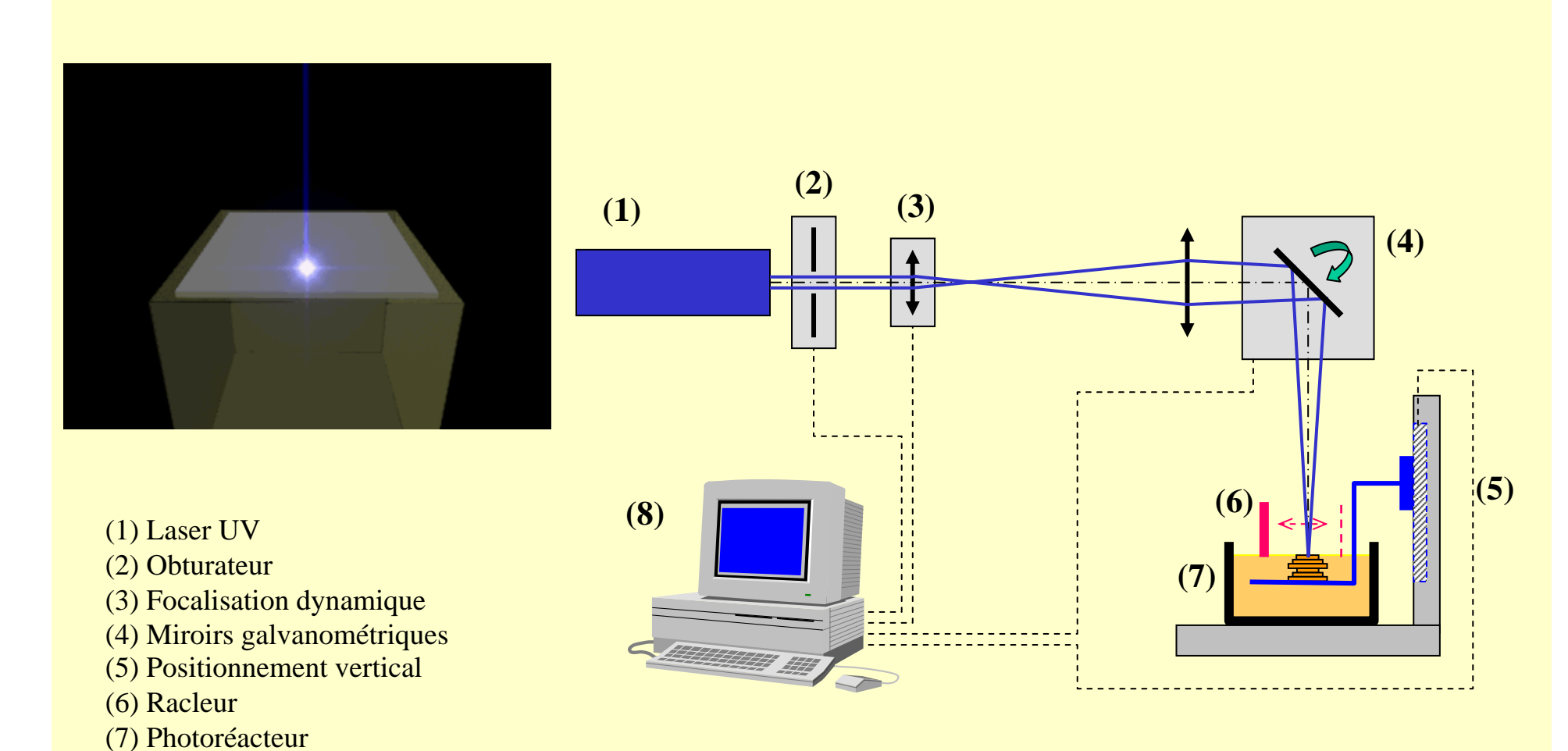
Procédé conventionnel de SL

Un procédé de prototypage rapide :



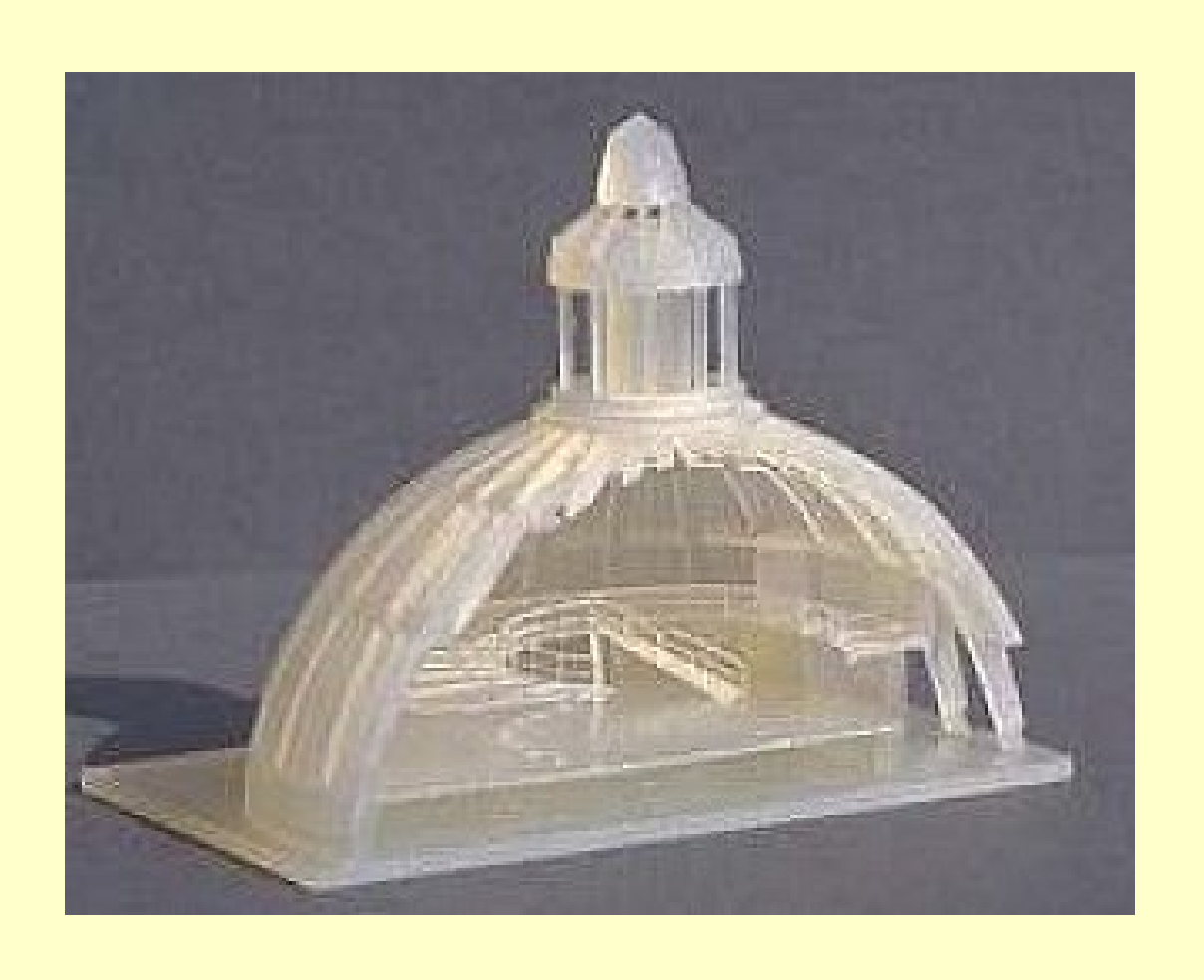
Procédé conventionnel de SL

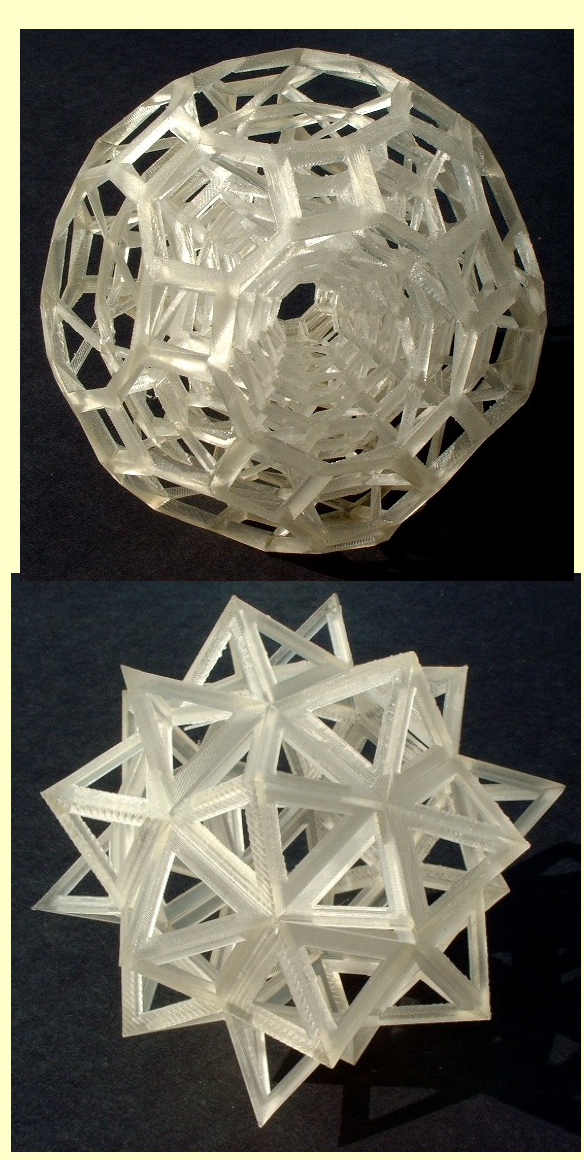
Une fabrication couche par couche par solidification photoinduite (photopolymérisation) résolue dans l'espace, d'une résine liquide.



(8) Ordinateur de commande

Pièces réalisées par des machines industrielles

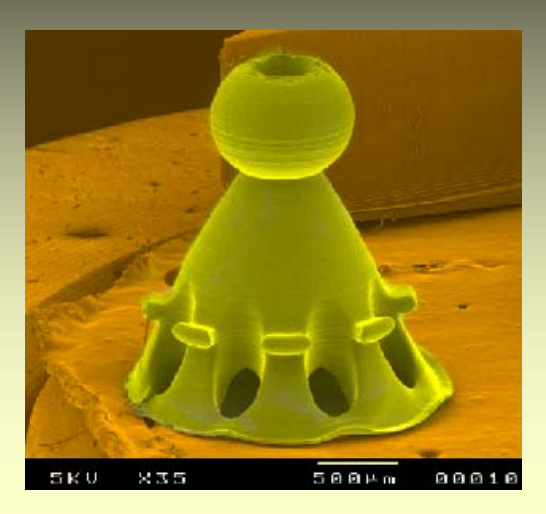




Procédés de micro-SL par masque dynamique



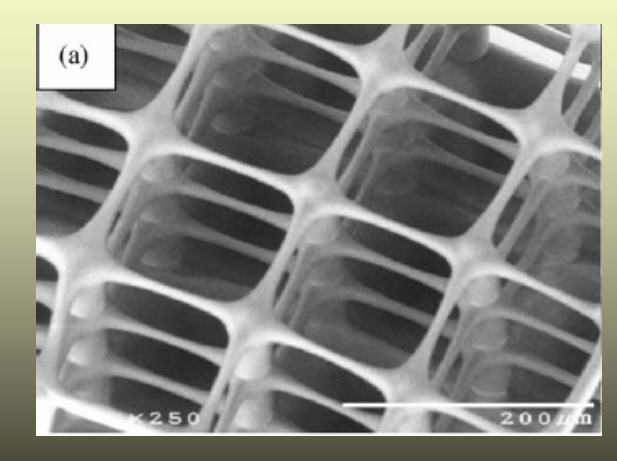
EPFL, Lausanne, CH



DCPR, Nancy, F



CMF, Birmingham, GB



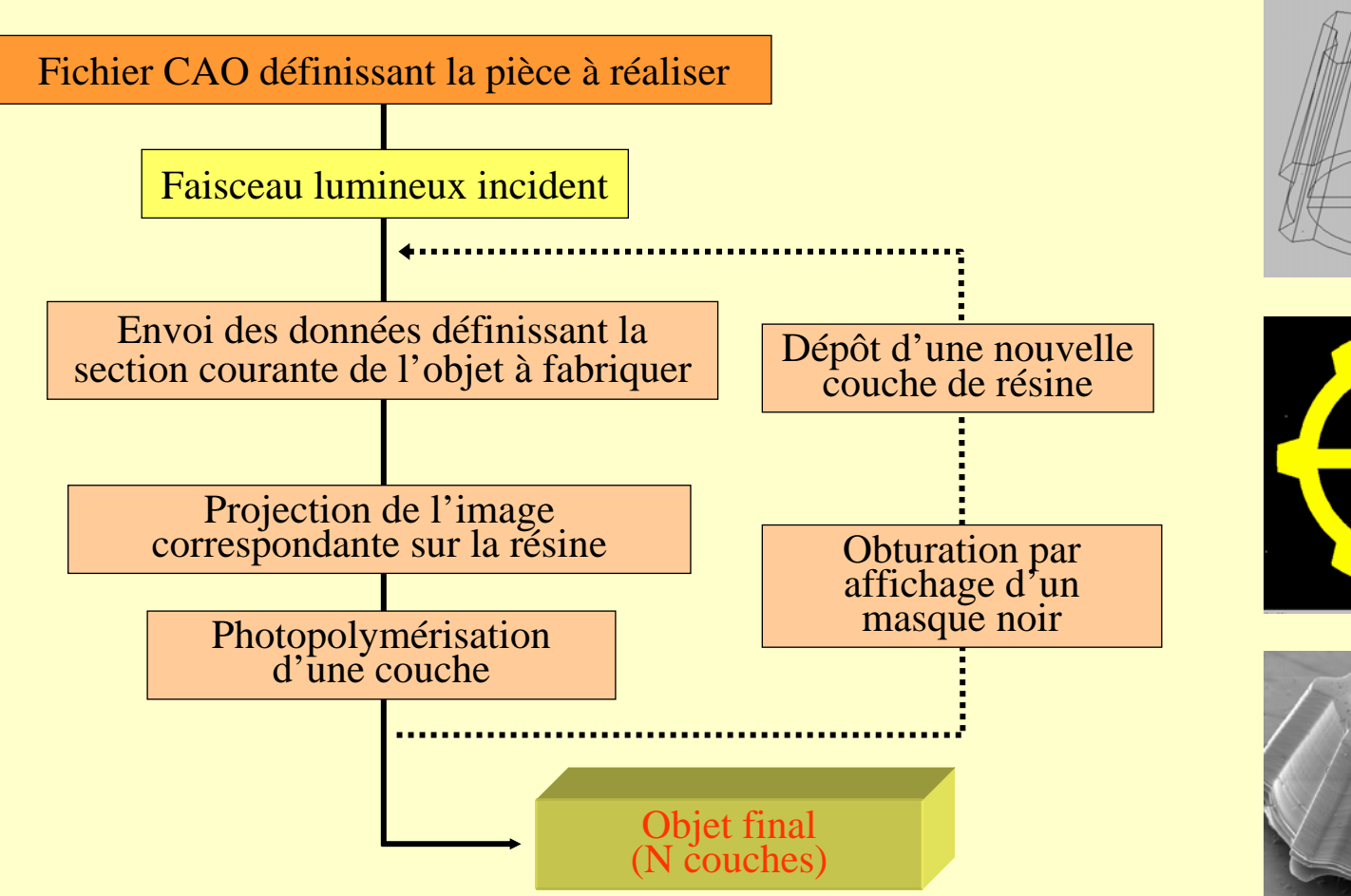
California univ., USA

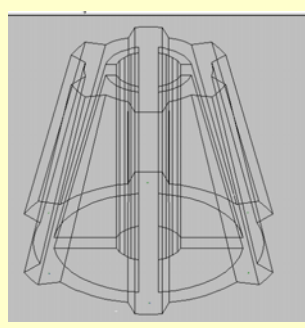


Inst. Fresnel, Marseille, F

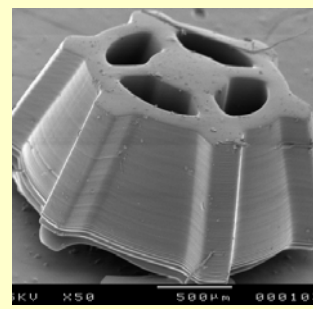
Principe

Les étapes principales du procédé de mise en forme :

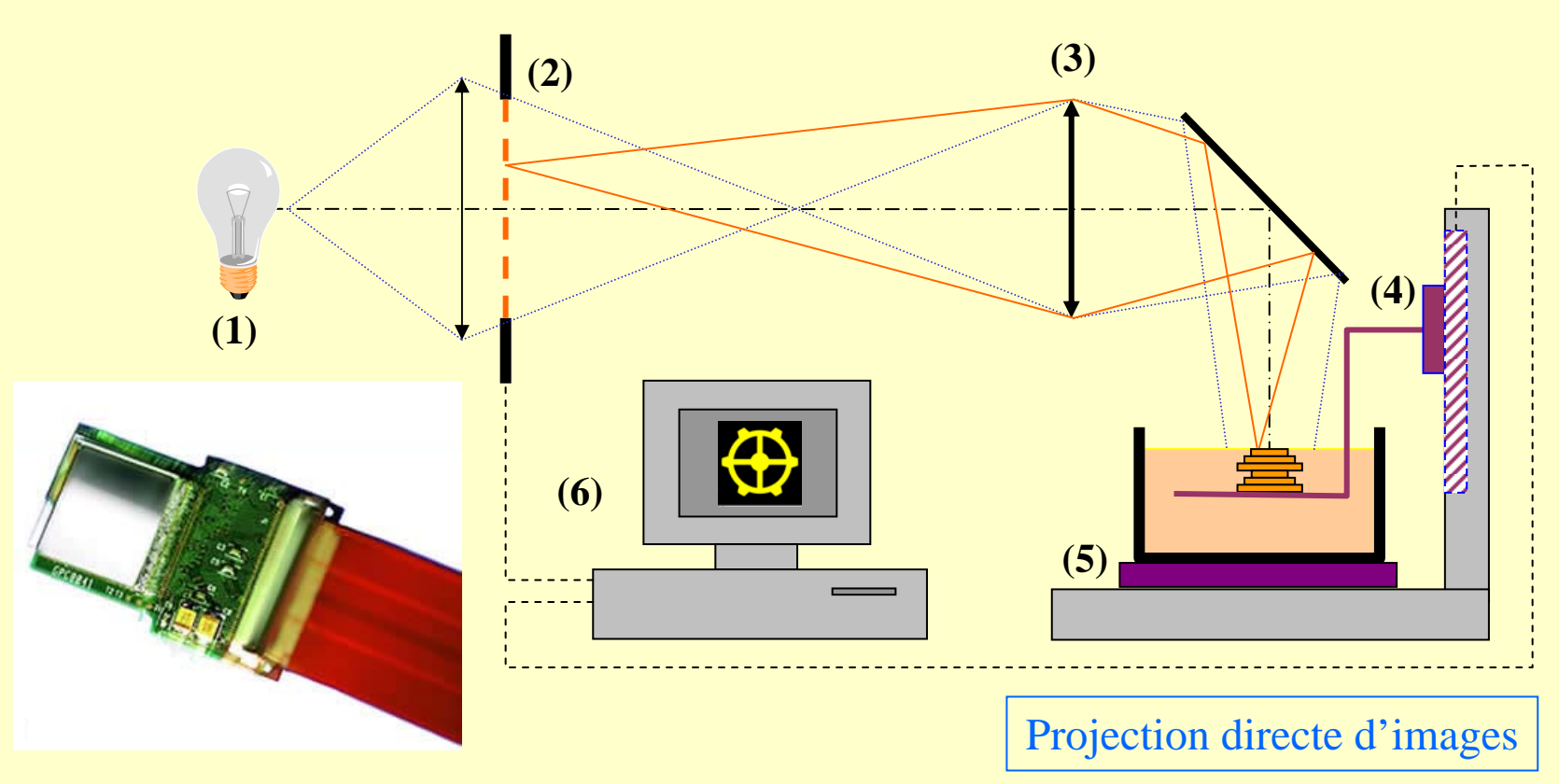








Masque dynamique à cristaux liquides - DCPR



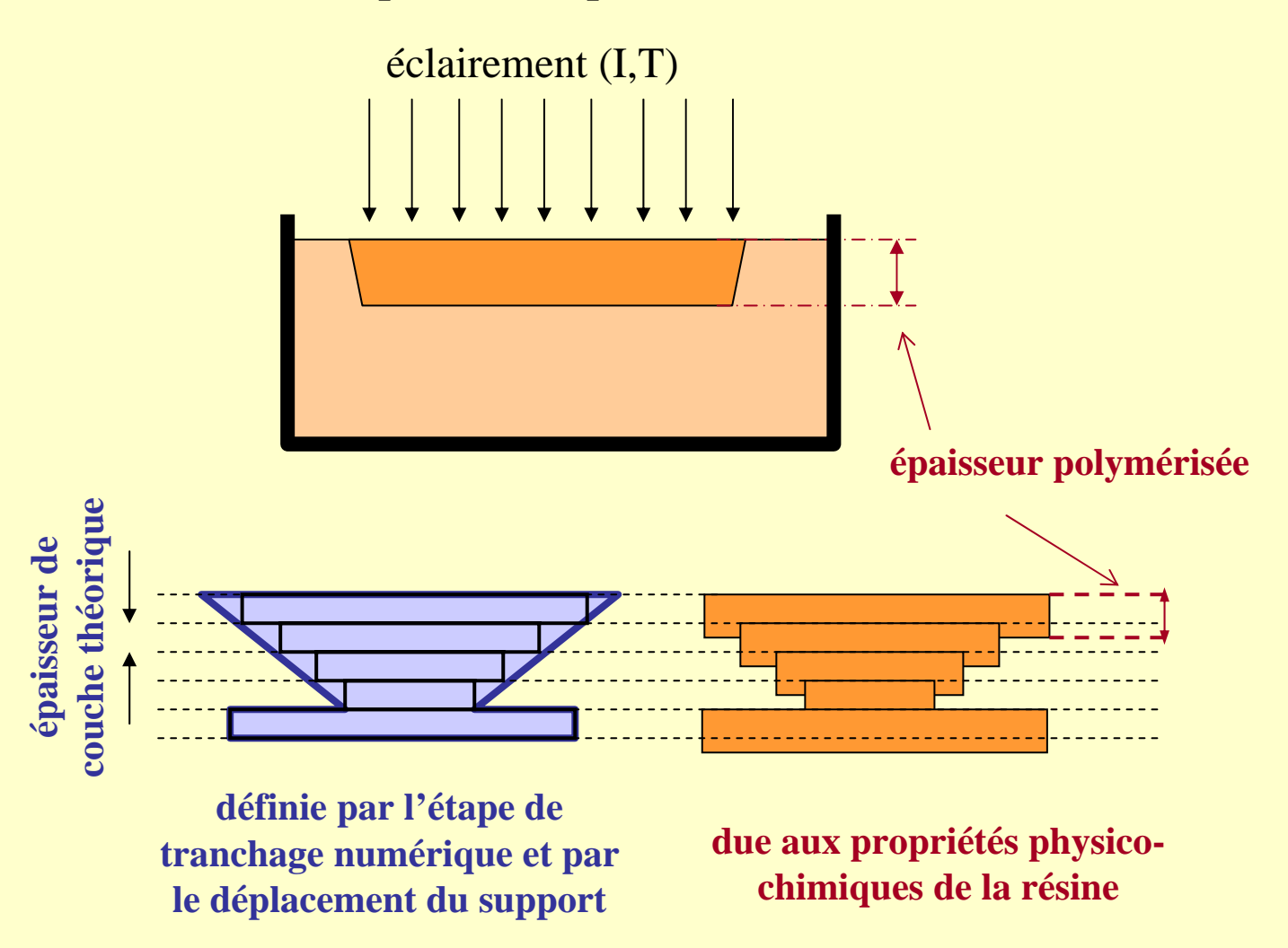
- (1) Lampe à arc, haute pression (Hg)
- (2) Masque dynamique à cristaux liquides
- (3) Système optique imageur

- (4) Micropositionnement vertical
- (5) Régulation de température
- (6) Ordinateur de commande

V. Loubère, S. Monneret, S. Corbel, "Microstéréolithographie utilisant un écran générateur de masques" Revue Internationale de CFAO et d'Informatique Graphique 13, 31-43, (1998).

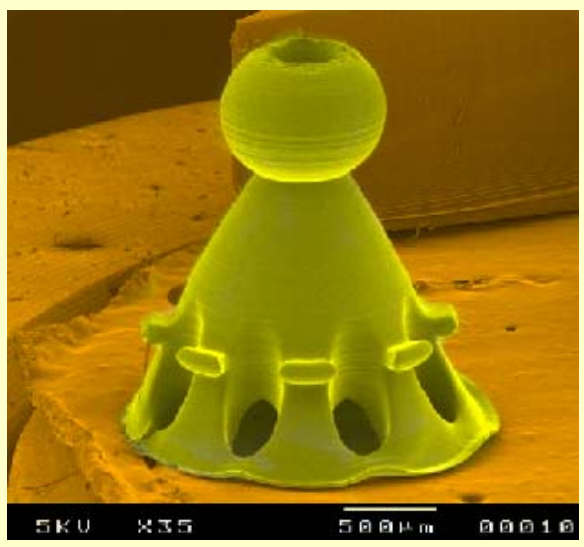
Résolution verticale : un problème crucial en microSL

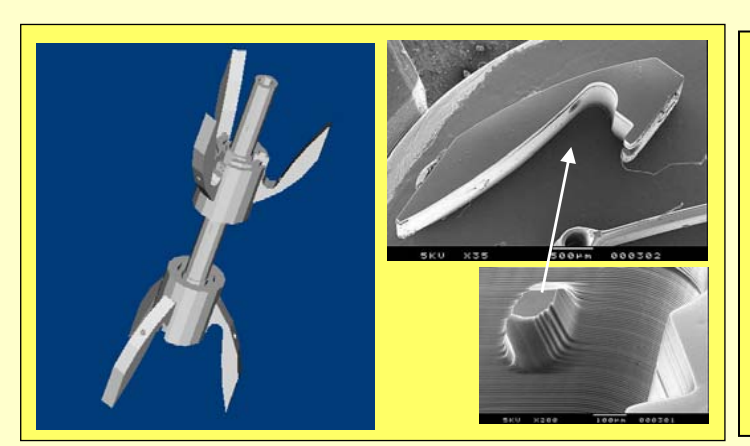
La résolution verticale du procédé dépend fortement du matériau utilisé :

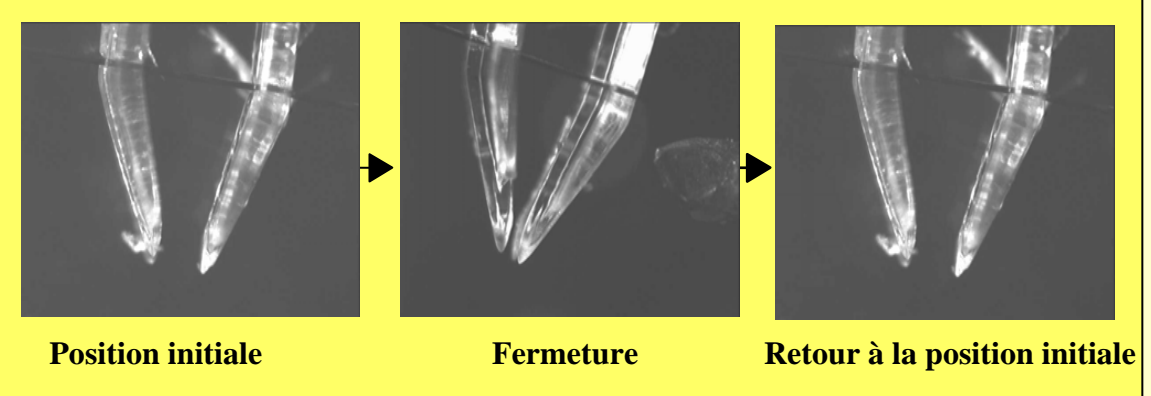


Exemples de réalisations en polymère - DCPR



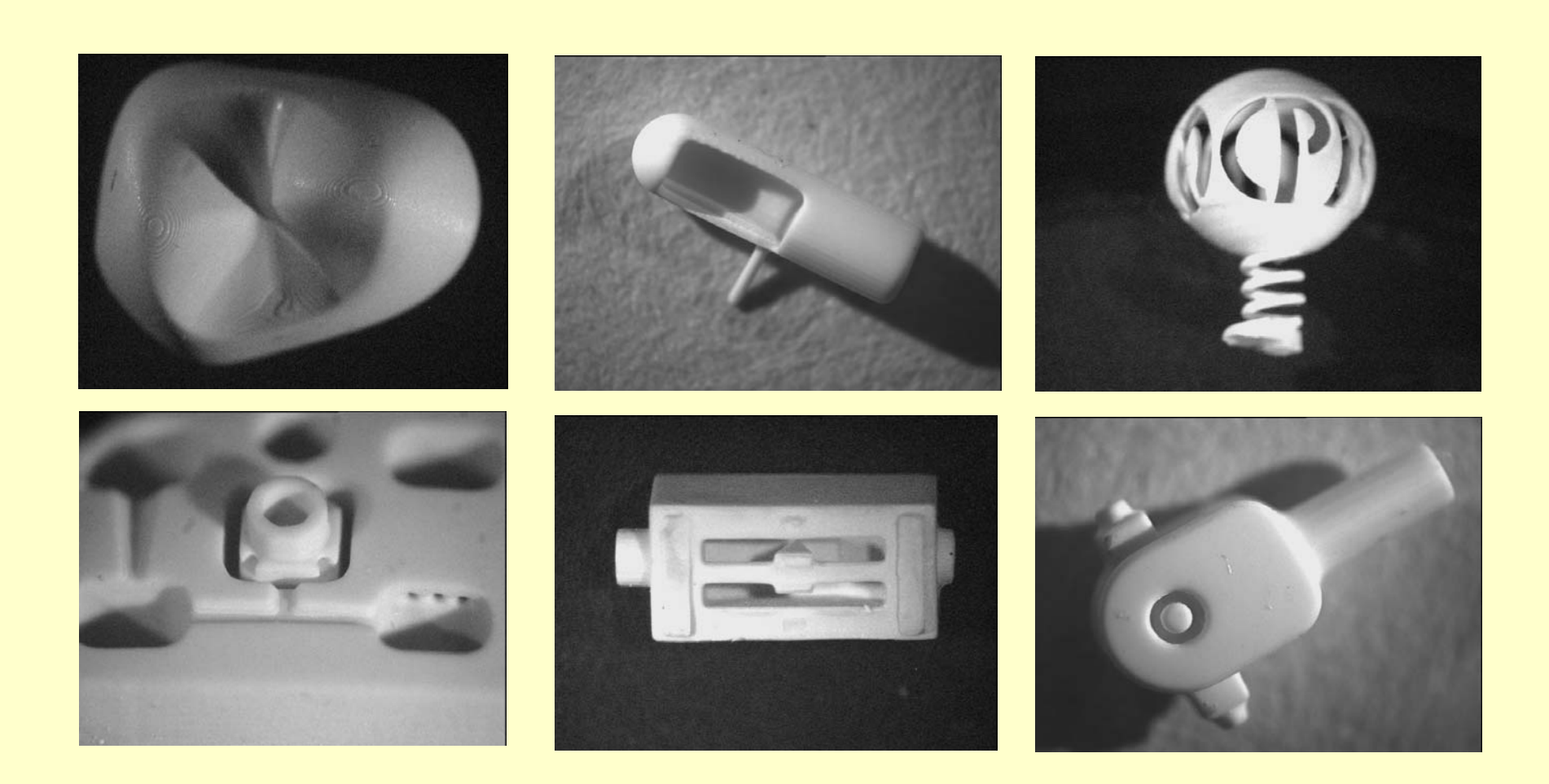






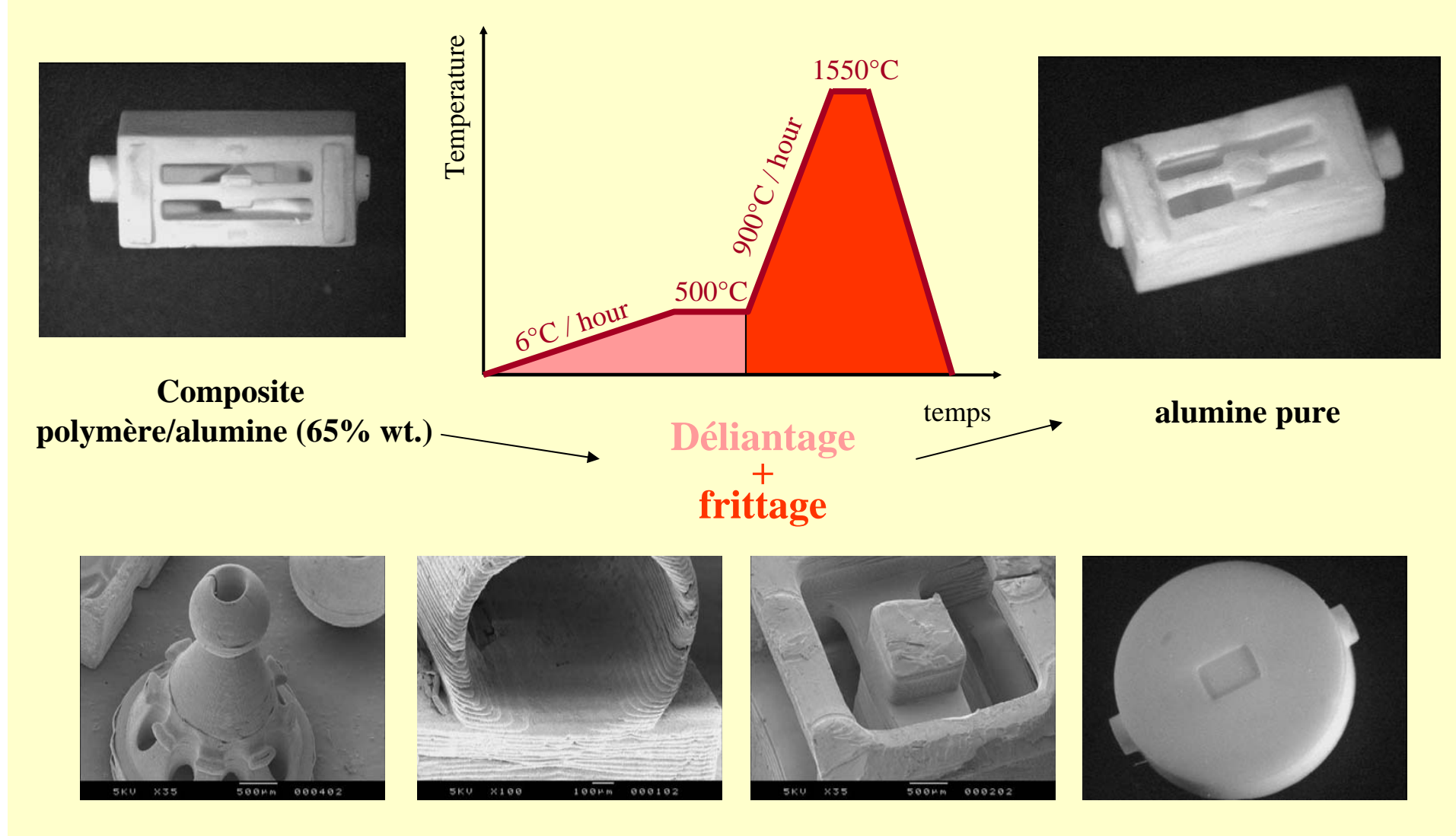
V. Loubère, S. Monneret, H. Le Gall, S. Corbel, "Microstereolithography using a dynamic mask for microactuators fabrication", Revue Internationale de CFAO et d'Informatique Graphique 15, 229-243, (2000)

Réalisations en composite alumine / polymère - DCPR



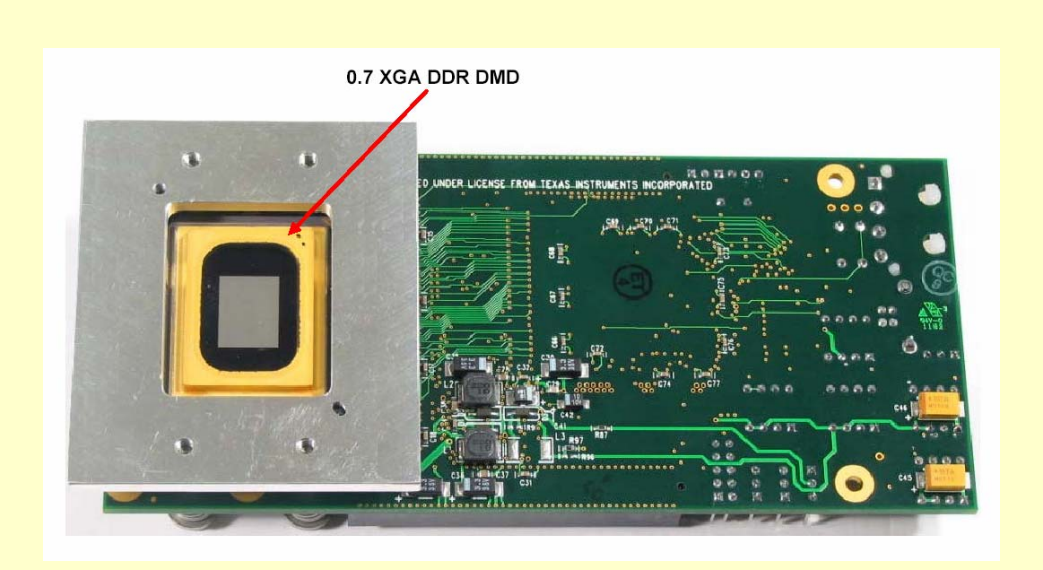
S. Monneret, C. Provin, H. Le Gall, S. Corbel, "Microfabrication of freeform and articulated alumina-based components" Microsystem Technologies 8, 368-374 (2002).

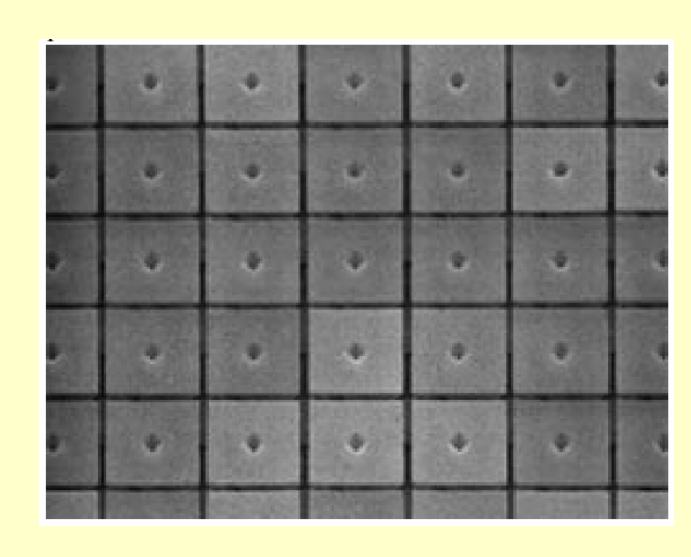
Réalisations en alumine pure - DCPR

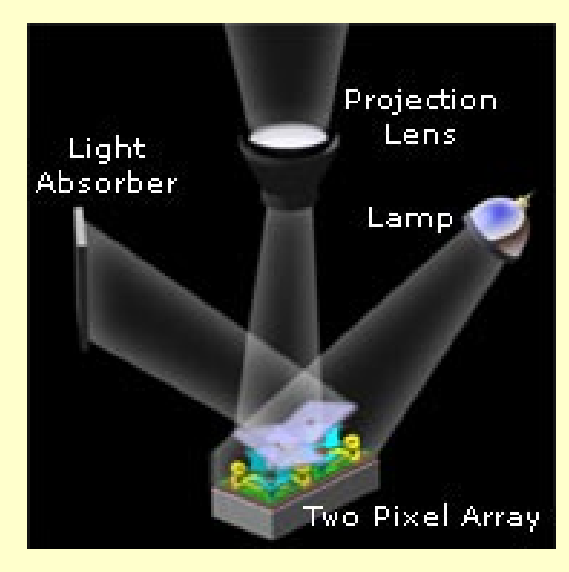


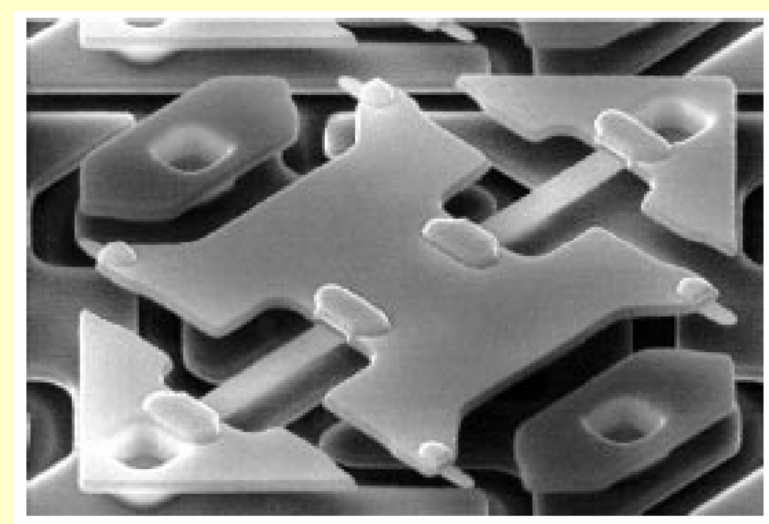
C. Provin, S. Monneret, H. Le Gall, S. Corbel, Three-dimensional ceramic microcomponents made using microstereolithography", Advanced Materials 15 (12), 994-997 (2003).

Masque dynamique à micro-miroirs (DMD®)









Masque dynamique à micro-miroirs (DMD®)

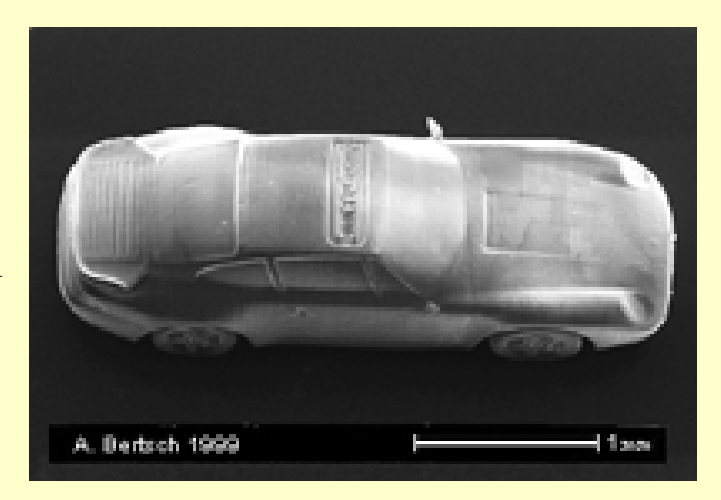
	LCD	DMD
UV compatibility	No	Yes
Modulation efficiency	12.5% (transmission)	88% (reflection)
Pitch size	$26 \mu m \times 24 \mu m$	14–17 μm
Pixel size	$33 \mu m \times 33 \mu m$	$13-16.2 \mu m$
Filling ratio	57%	91%
Contrast	100:1	350:1
Switching speed	20 ms	20 μs

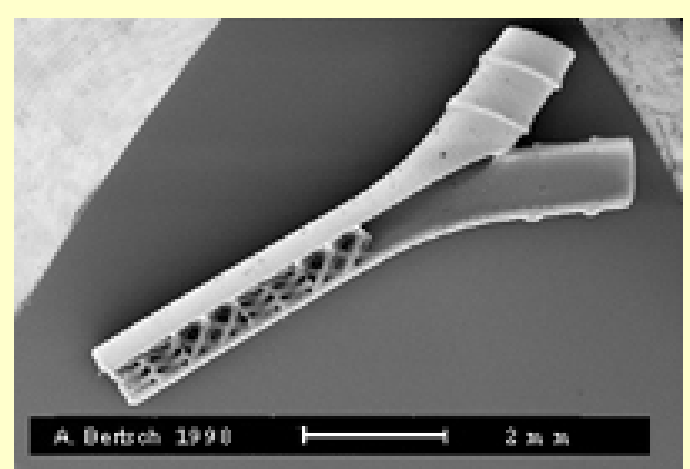
Exemples de réalisations - EPFL

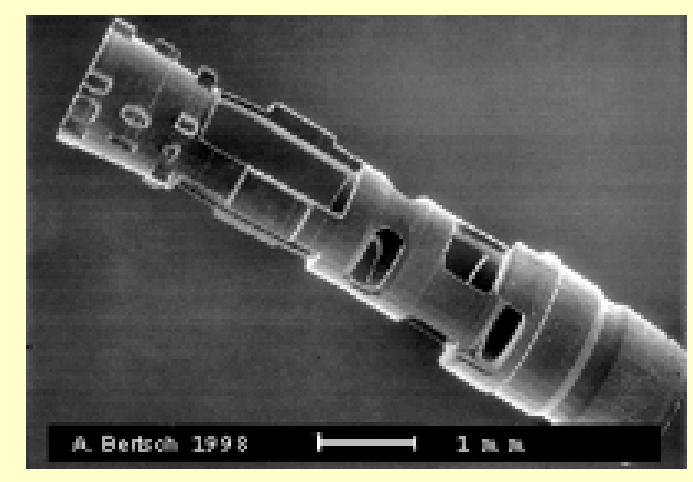


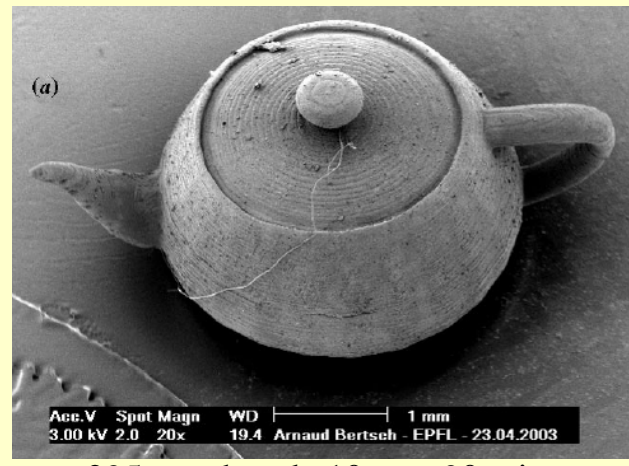
Polymère: couches jusqu'à 5 µm

Alumine : couches de 10 µm









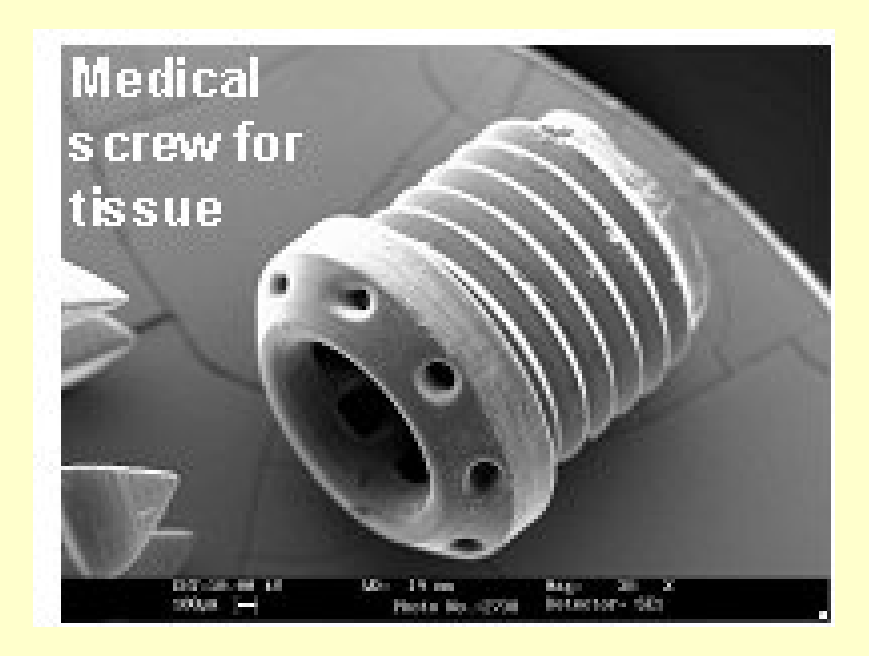
295 couches de 10 µm, 90 min

A. Bertsch, S. Jiguet, P. Bernhard, P. Renaud, "Microstereolithography: a review", Mat. Res. Soc. Symp. Proc. vol. 739 (2003).

Exemples de réalisations - CMF



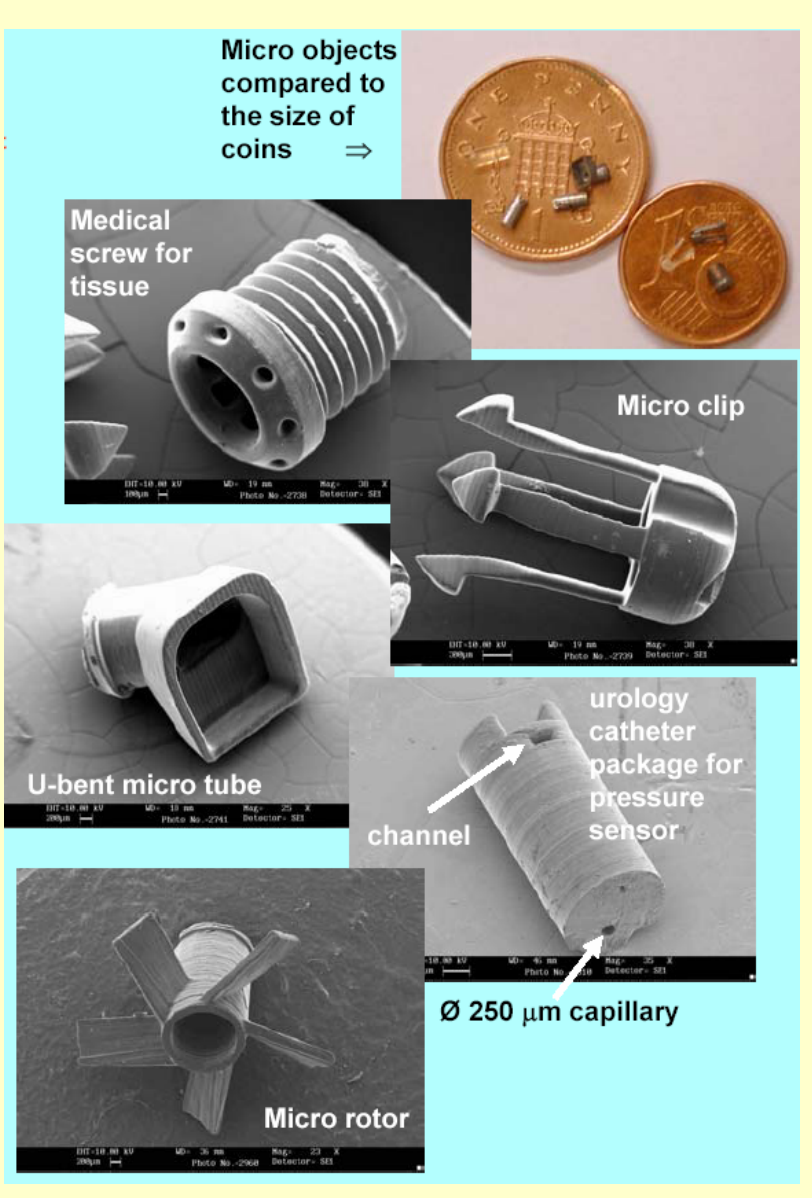
Polymère uniquement



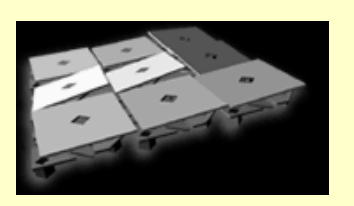
•Lateral and Vertical resolution: 10µm

•Maximum field size: 10.24mm x 7.68mm

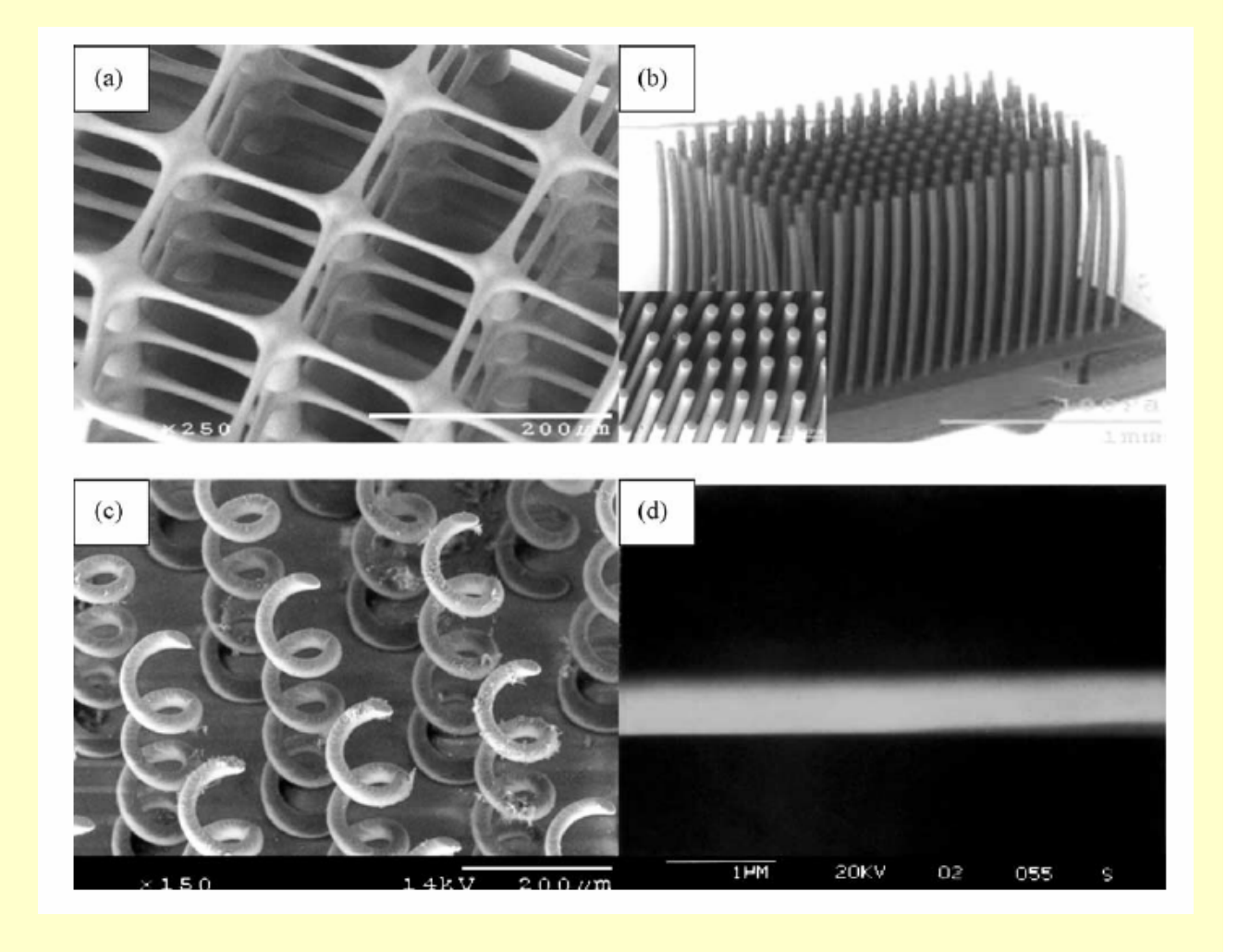
•Structural height: up to 5mm



Exemples de réalisations – Univ. Californie

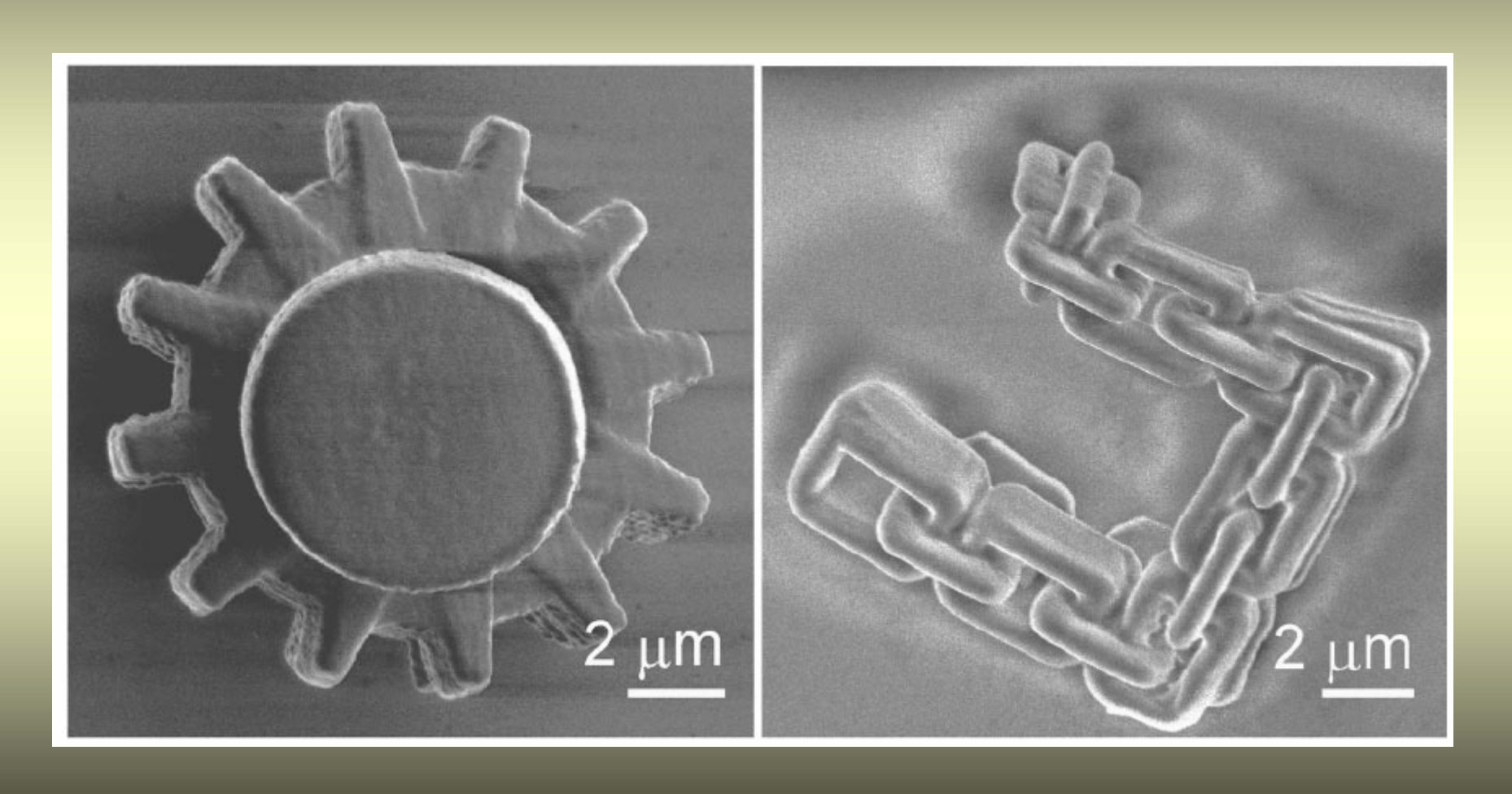


Polymère uniquement



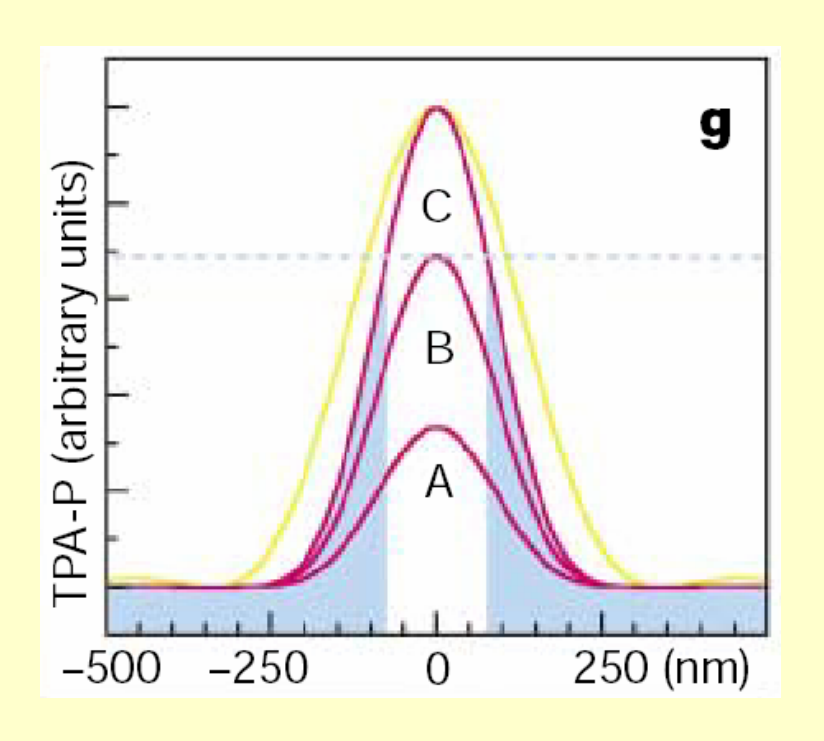
C. Sun et al. / Sensors and Actuators A 121 (2005) 113-120

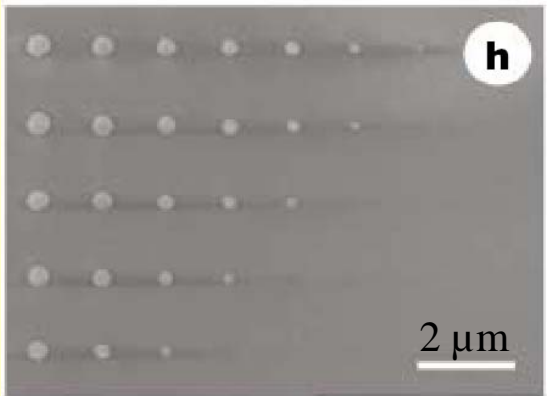
« nano-SL » par absorption à 2 photons

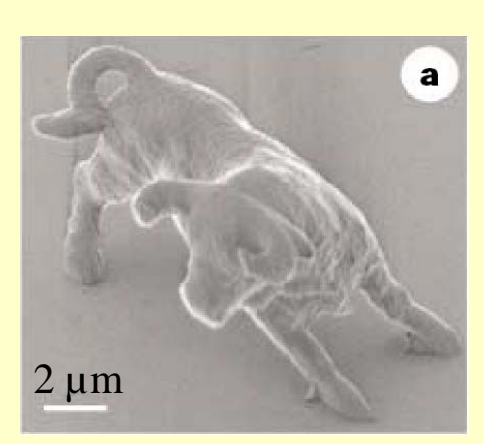


Tanaka, Sun, and Kawata Appl. Phys. Lett., Vol. 80, No. 2, 14 January 2002

Principe – montage de l'université d'Osaka (Japon)





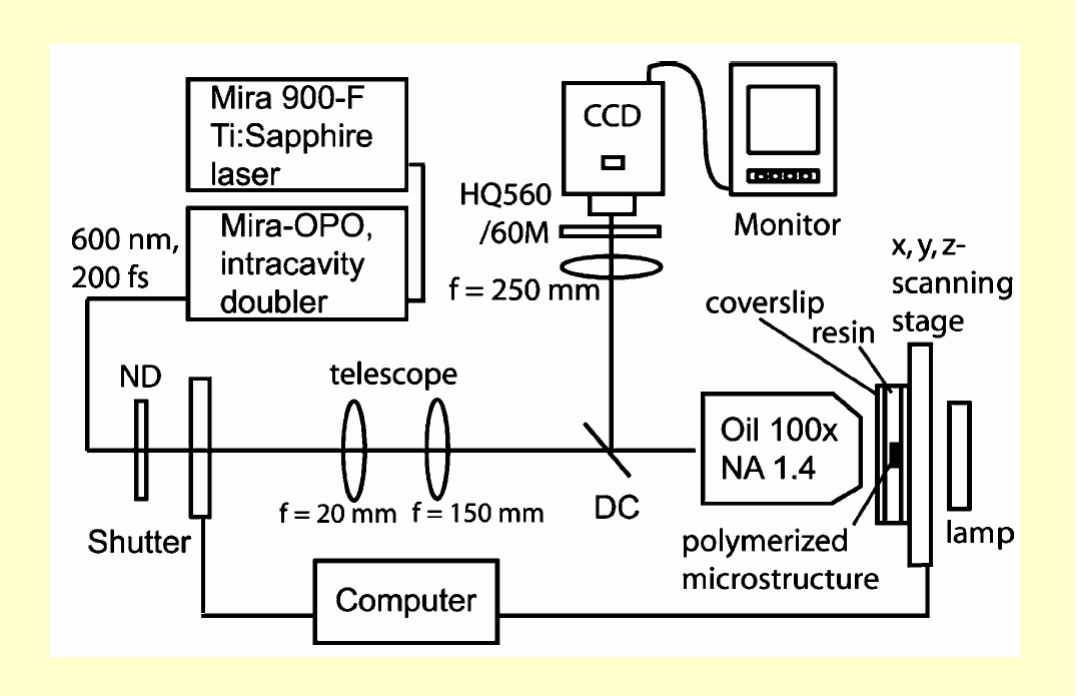


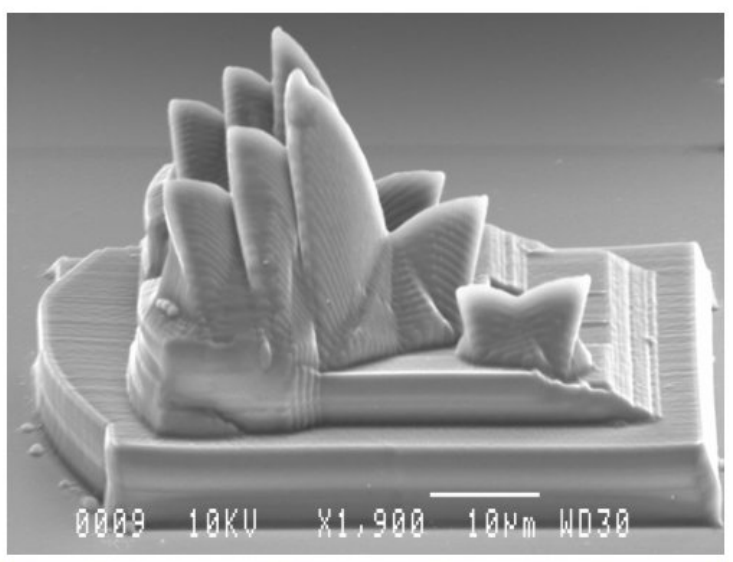
The fabrication system was similar to that previously used. The exposure source employed was a 780 nm (λ) mode-locked Ti:Sapphire laser, capable of producing laser pulses of $\sim 150 \text{ fs}$ at a repetition rate of 76 MHz, which was focused into the sample of SCR 500 resin by a high NA (~ 1.4 , oil immersion) objective lens. The laser spot was scanned on the focal plane by a two-galvano-mirror set, and along the optical axis by a piezo stage, both controlled by a computer.

Satoshi Kawata, Hong-Bo Sun, Tomokazu Tanaka, Kenji Takada

Department of Applied Physics, Osaka University, Suita, Osaka 565-0871, Japan

Montage de l'université de Swinburne (Australie)



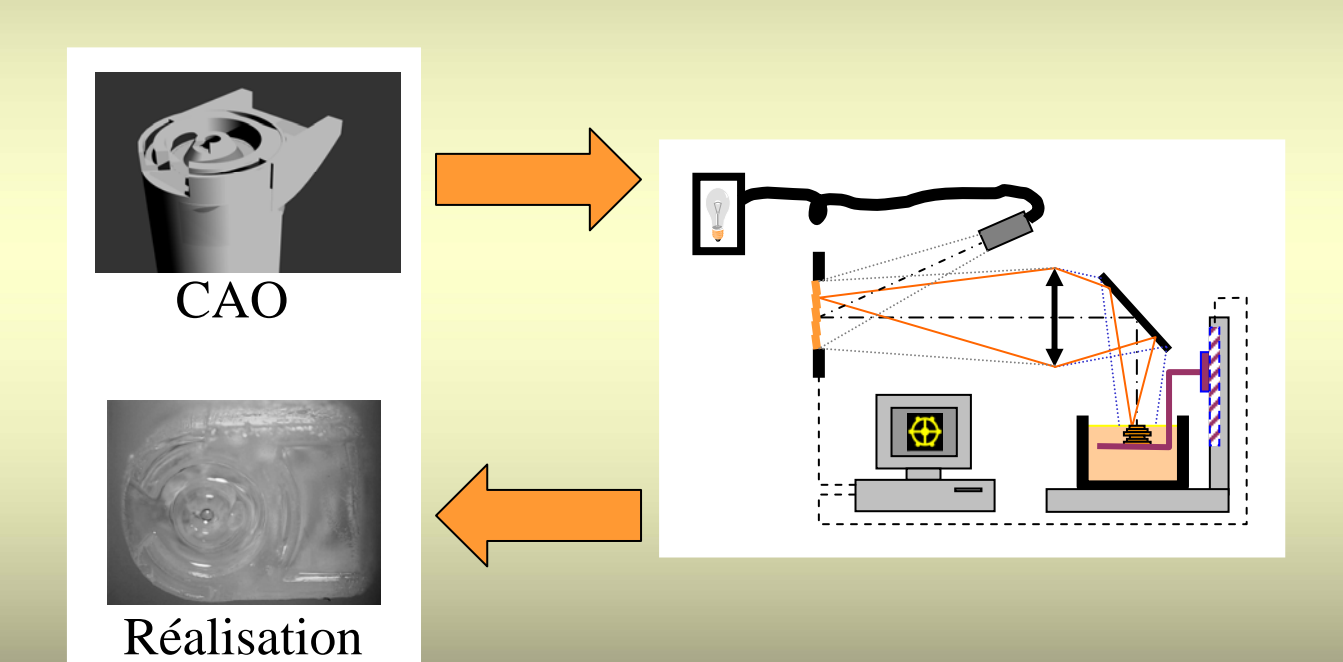




M. Straub et al. | Optical Materials 27 (2004) 359-364

Vers une plate-forme de microstéréolithographie pour les unités du CNRS

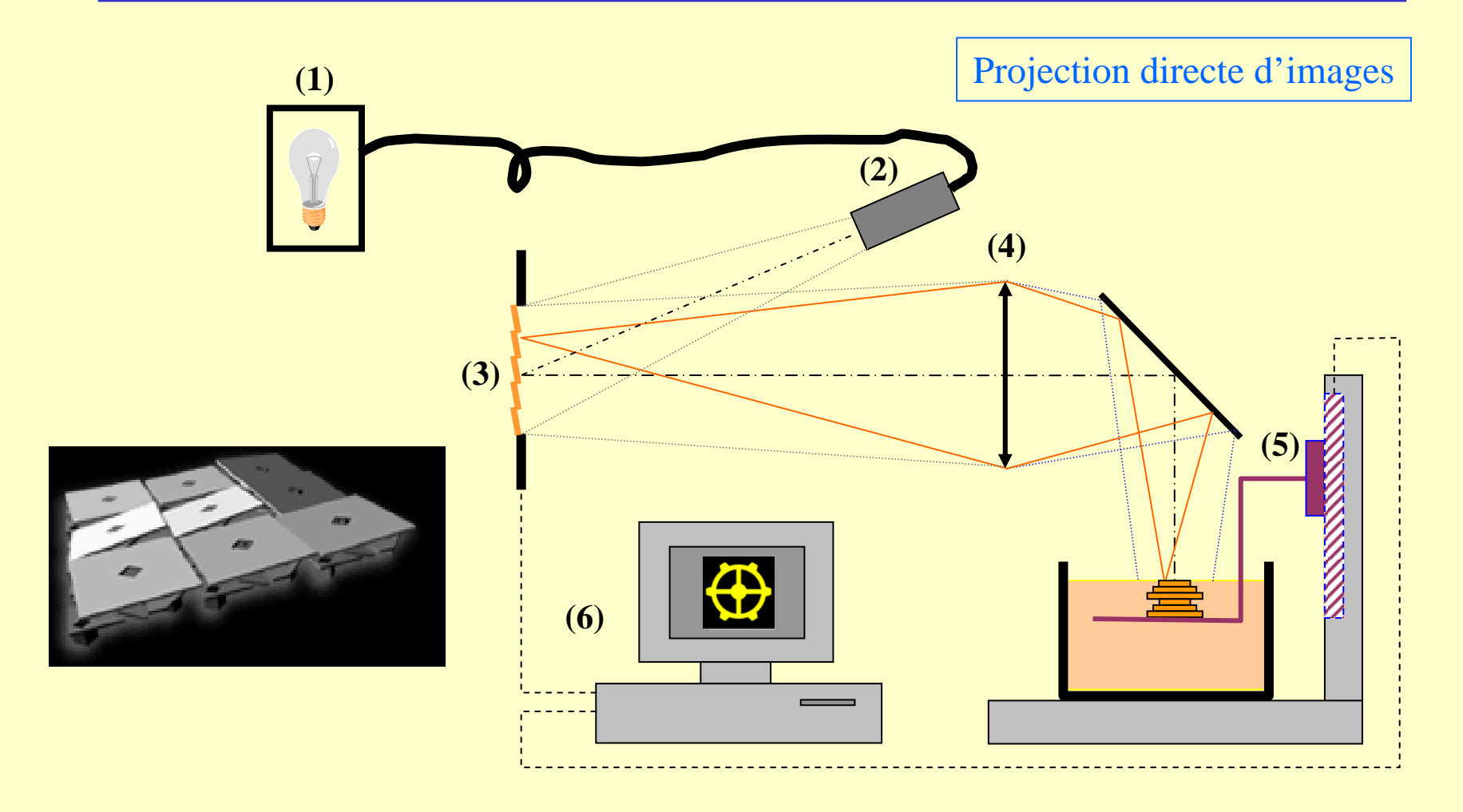








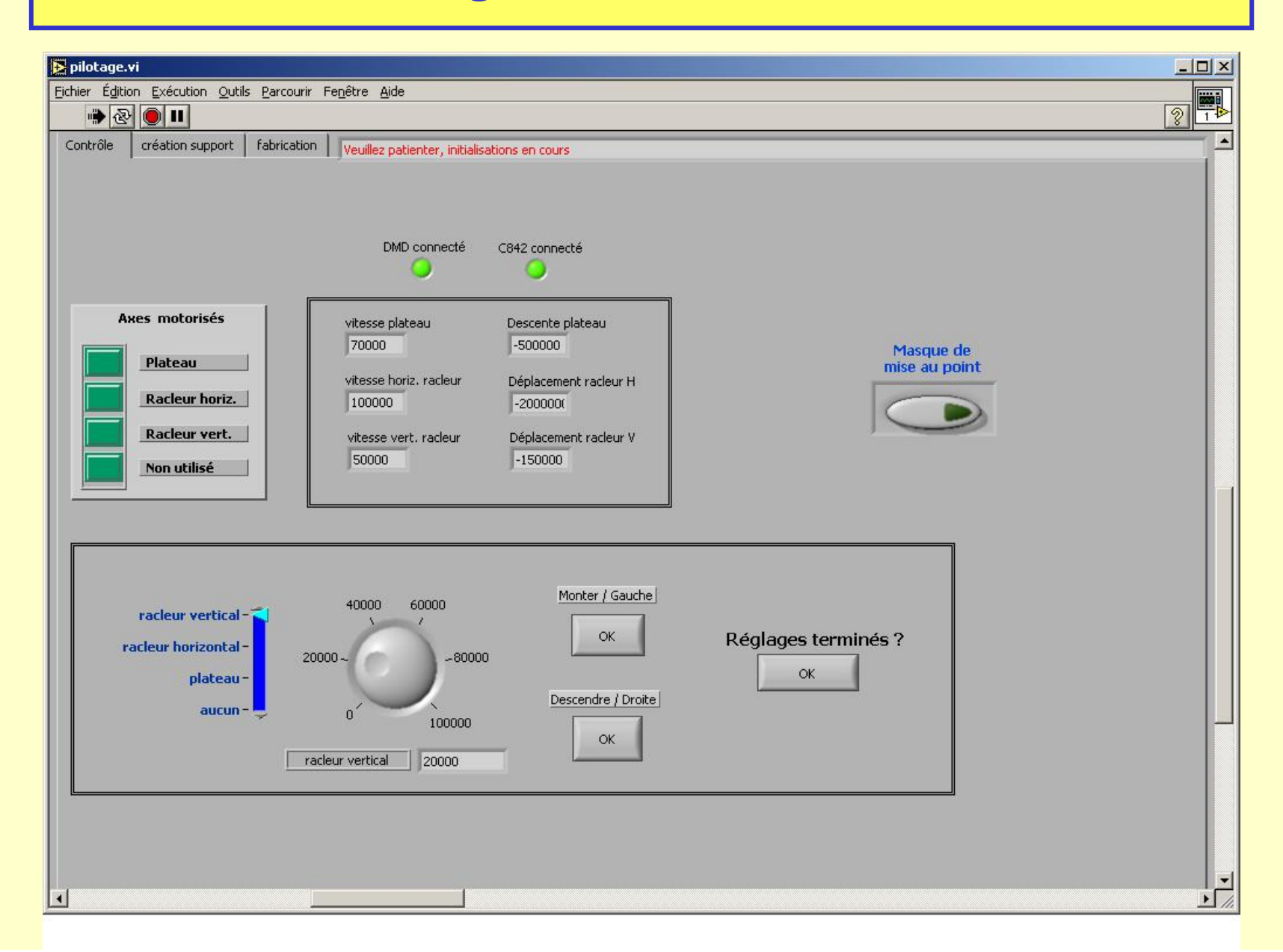
Montage à base de DMD® - Inst. Fresnel



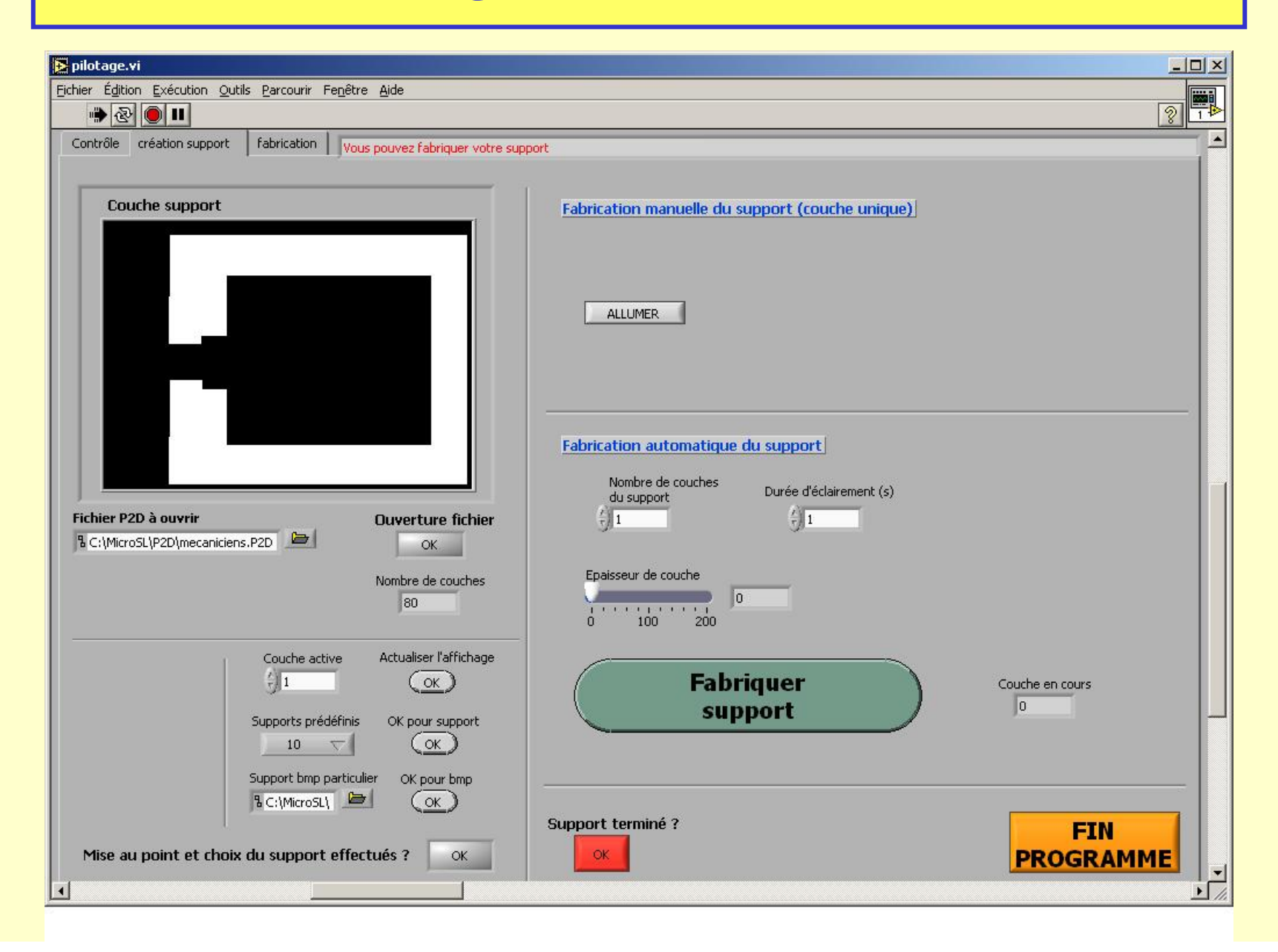
- (1) Source fibrée, haute pression (Hg)
- (2) Système pour homogénéisation lumineuse
- (3) Masque dynamique à micro-miroirs

- (4) Système optique imageur
- (5) Micropositionnement vertical
- (6) Ordinateur de commande

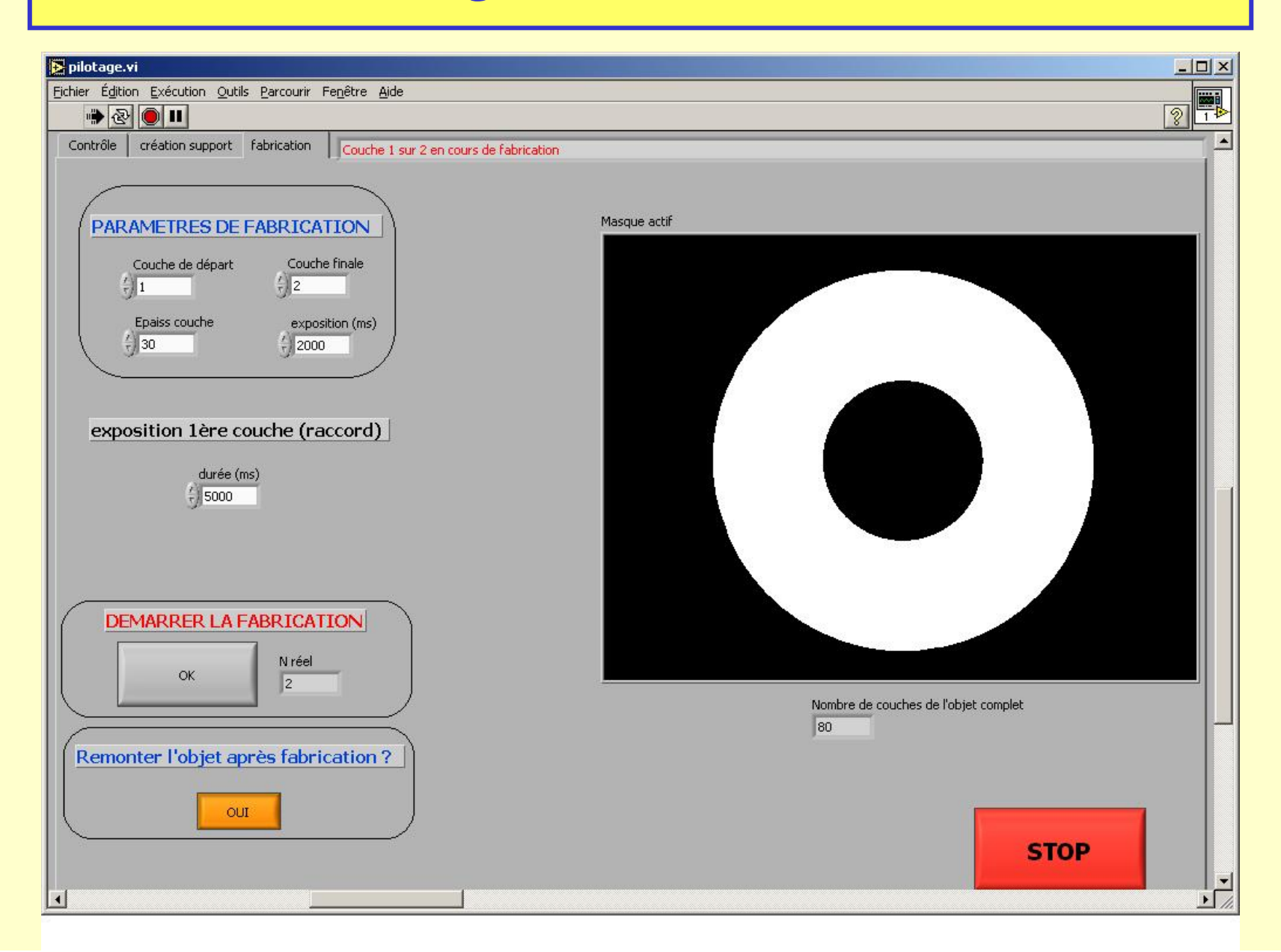
Logiciel de fabrication



Logiciel de fabrication



Logiciel de fabrication



Exemple de réalisation

